



# Universidad Tecnológica de Panamá

## Facultad de Ingeniería Eléctrica



**Maestría en Ingeniería Eléctrica**  
**Especialización en Electrónica Digital y Automatización**

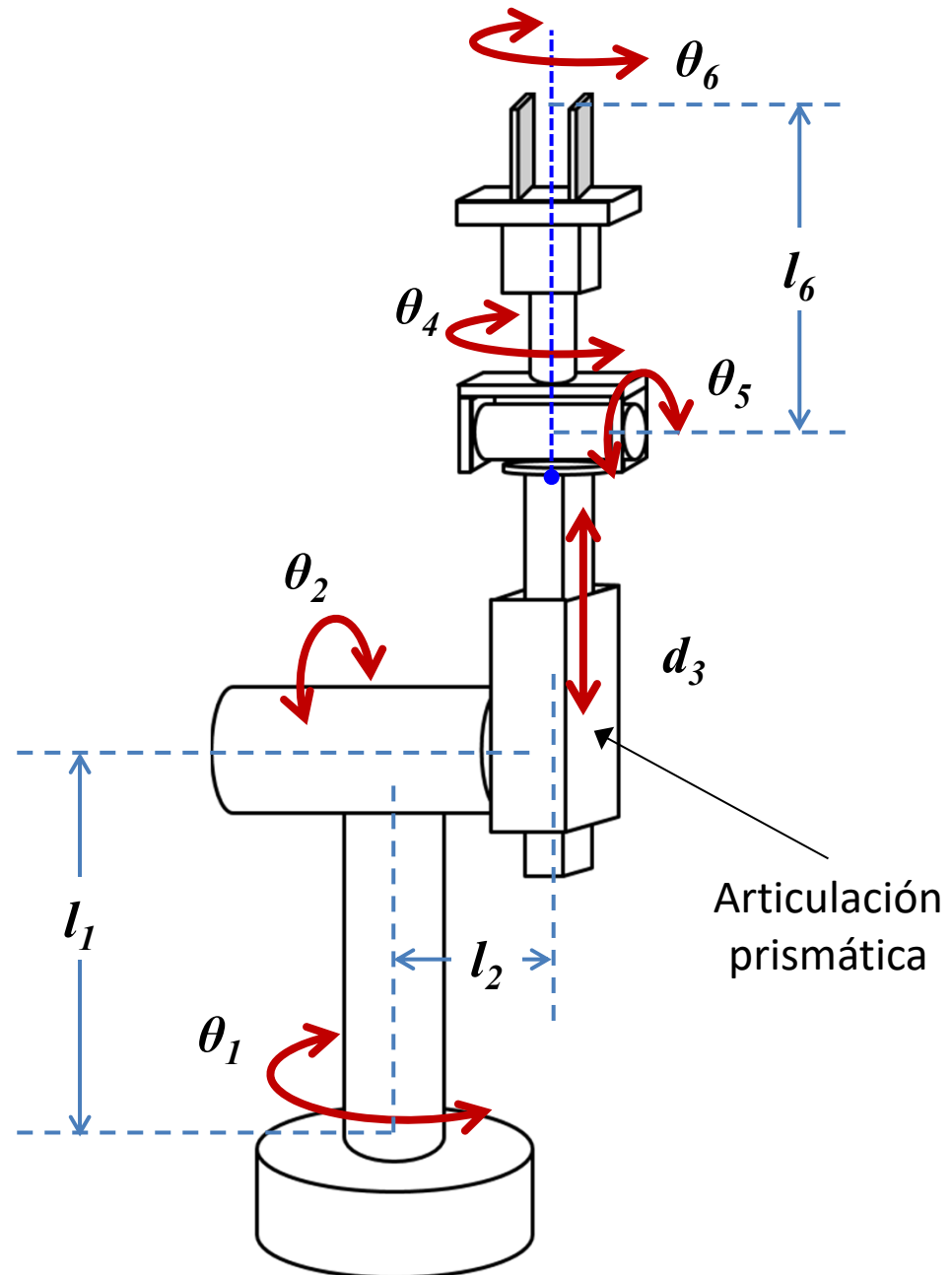
**Diseño y Control de Robots (DyCR)**  
*“Análisis cinemático del brazo robótico de Stanford”*

**Prof. Dr. Héctor Montes Franceschi**

## Características principales del brazo robótico de Stanford

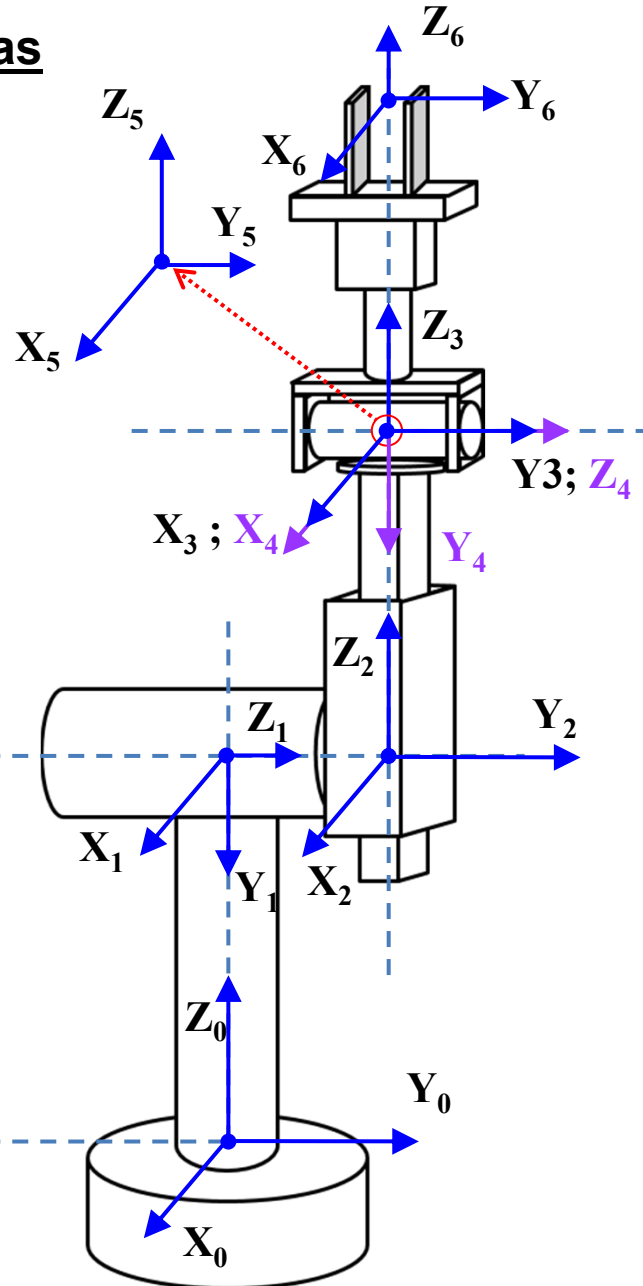
- Es un robot manipulador de 6 ejes con cinco articulaciones rotacionales y una prismática, lo que le da seis grados de libertad.
- Las articulaciones 1, 2, 4, 5 y 6 son rotacionales, cuyas variables serán  $\theta_i$ , esto es,  $\theta_1$ ,  $\theta_2$ ,  $\theta_4$ ,  $\theta_5$ ,  $\theta_6$ , respectivamente.
- La articulación 3 es del tipo prismática, por lo tanto, la variable de esta articulación es  $d_3$ .
- La gráfica de este brazo robótico se encuentra en la siguiente diapositiva.

## Brazo robótico de Stanford



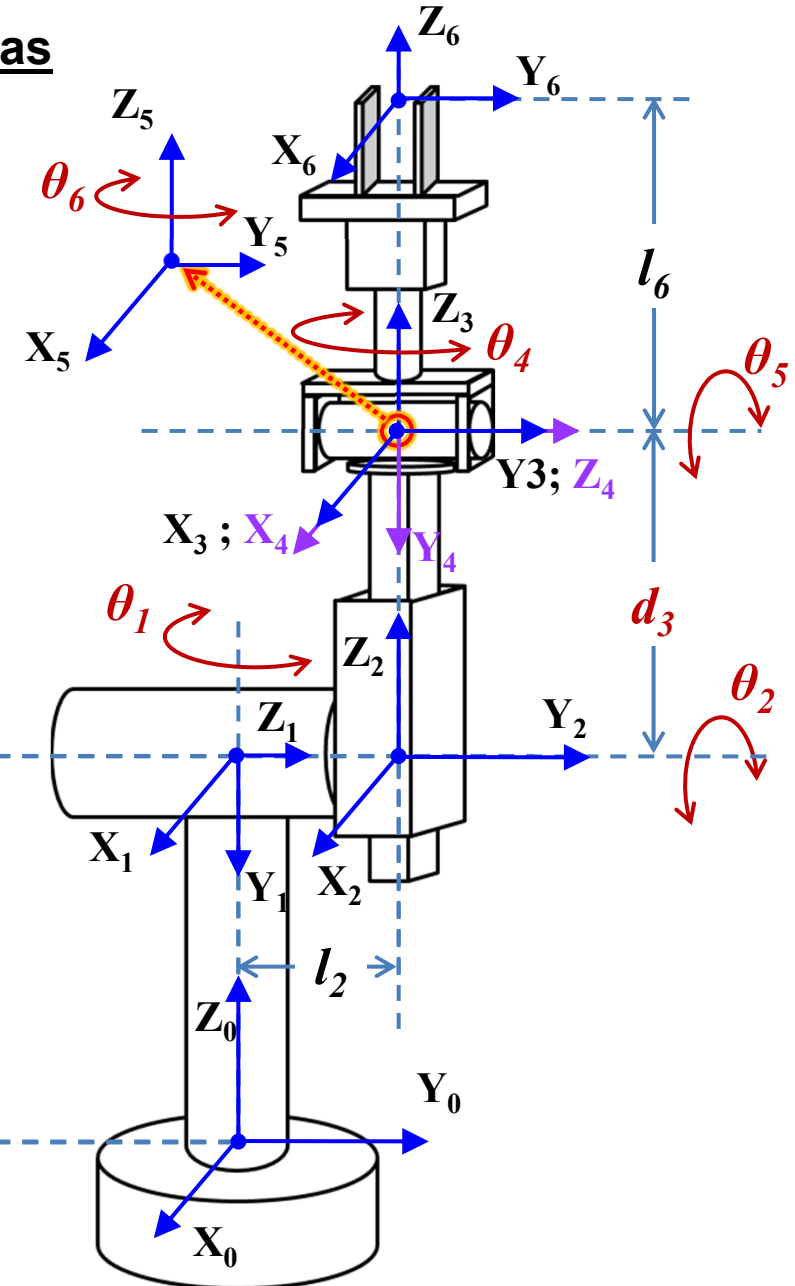
## Asignación de los sistemas de coordenadas

1. El eje  $z_{i-1}$  se coloca a lo largo del eje de la articulación ' $i$ '. Es decir, el eje  $z_0$  se coloca a lo largo de la articulación '1'.
2. El eje  $x_i$  es normal al eje  $z_{i-1}$ . Esto es, por ejemplo, el eje  $x_2$  es perpendicular al eje  $z_1$ .
3. El eje  $y_i$  completa el sistema dextrógiro. El eje 'y' correspondiente forma el sistema cartesiano según la regla de la mano derecha, por ejemplo, si el eje 'x' sale de esta hoja hacia el frente y el eje 'z' va hacia arriba de esta hoja, entonces, el sistema dextrógiro se completa colocando el eje 'y' a la derecha de esta hoja.



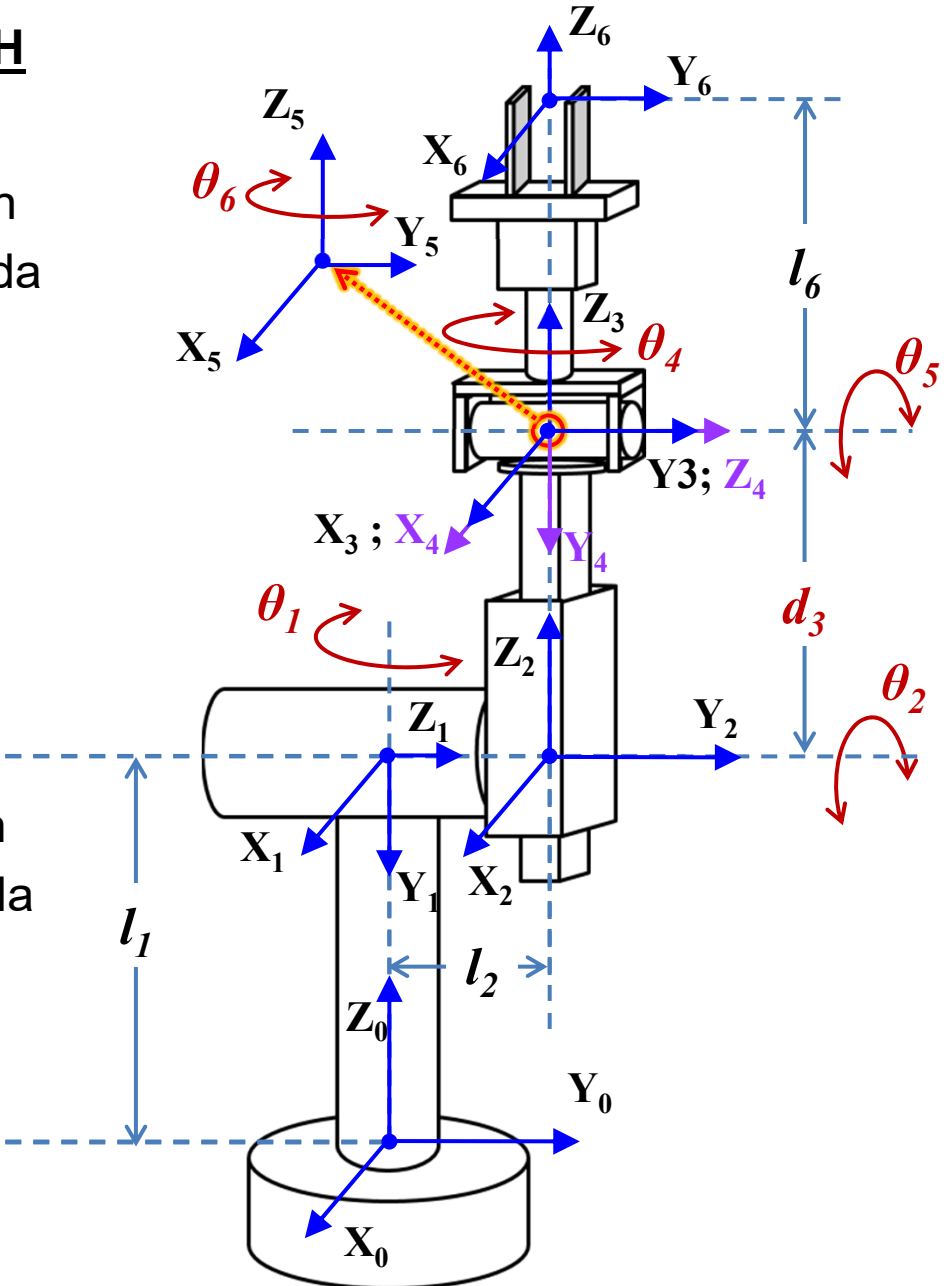
## Asignación de los sistemas de coordenadas

1. El eje  $z_{i-1}$  se coloca a lo largo del eje de la articulación ' $i$ '. Es decir, el eje  $z_0$  se coloca a lo largo de la articulación '1'.
2. El eje  $x_i$  es normal al eje  $z_{i-1}$ . Esto es, por ejemplo, el eje  $x_2$  es perpendicular al eje  $z_1$ .
3. El eje  $y_i$  completa el sistema dextrógiro. El eje 'y' correspondiente forma el sistema cartesiano según la regla de la mano derecha, por ejemplo, si el eje 'x' sale de esta hoja hacia el frente y el eje 'z' va hacia arriba de esta hoja, entonces, el sistema dextrógiro se completa colocando el eje 'y' a la derecha de esta hoja.



## Obtención de los parámetros de D-H

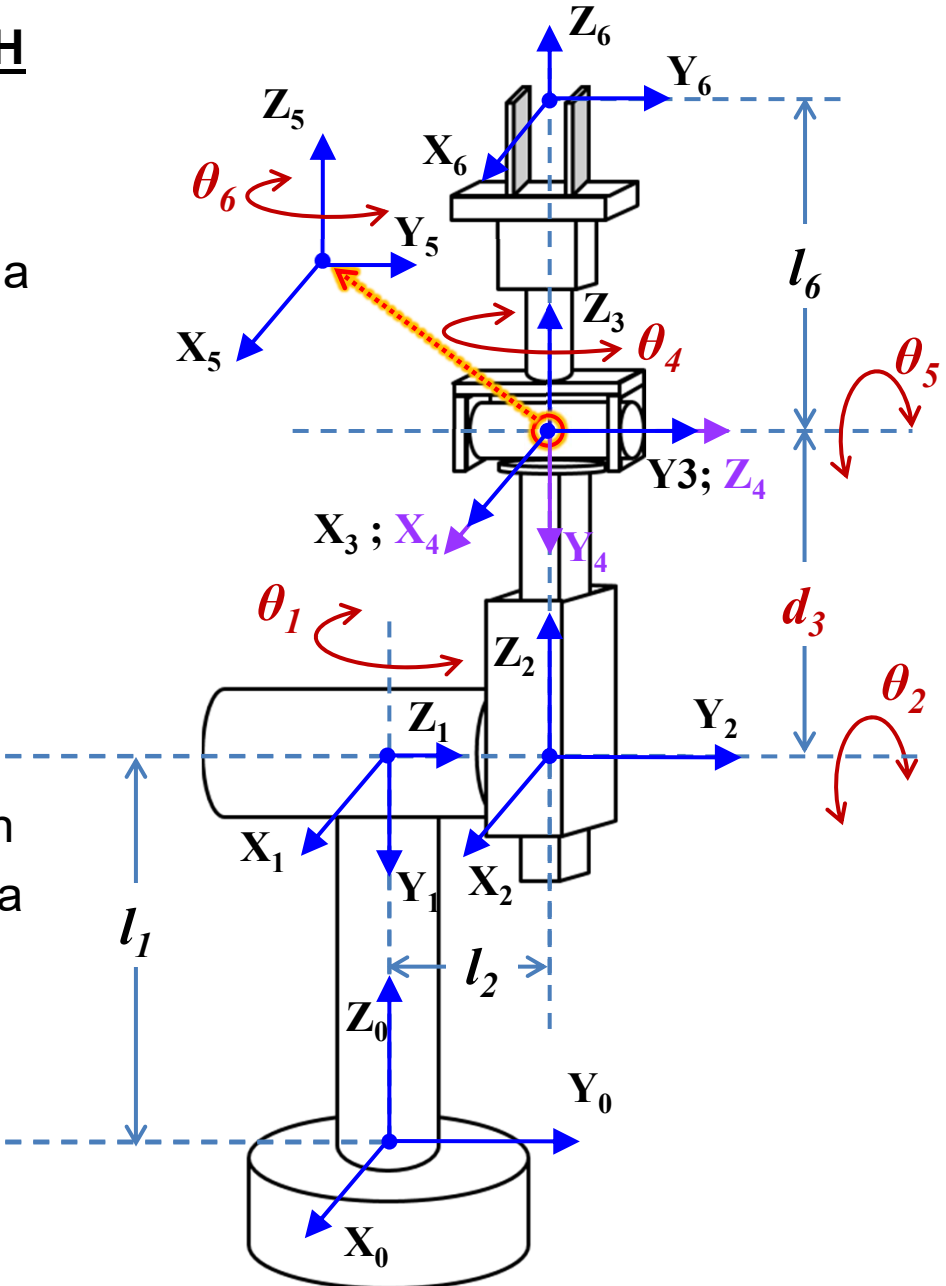
1. Rotación alrededor del eje “ $Z_{i-1}$ ” un ángulo “ $\theta_i$ ”, para que “ $X_{i-1}$ ” coincida con “ $X_i$ ”.
2. Traslación a lo largo de “ $Z_{i-1}$ ” una distancia “ $d_i$ ”, para que “ $O_{i-1}$ ” coincida con “ $O_i$ ”.
3. Traslación a lo largo de “ $X_i$ ” una distancia “ $a_i$ ”, para que “ $O_{i-1}$ ” coincida con “ $O_i$ ”.
4. Rotación alrededor del eje “ $X_i$ ” un ángulo “ $\alpha_i$ ”, para que “ $Z_{i-1}$ ” coincida con “ $Z_i$ ”. Se rota el “ $\{S_{i-1}\}$ ”.



## Obtención de los parámetros de D-H

### ART. 1

1. Rotación alrededor del eje “ $Z_0$ ” un ángulo “ $\theta_1$ ”, para que “ $X_0$ ” coincida con “ $X_1$ ”.
2. Traslación a lo largo de “ $Z_0$ ” una distancia “ $d_1$ ”, para que “ $O_0$ ” coincida con “ $O_1$ ”.
3. Traslación a lo largo de “ $X_1$ ” una distancia “ $a_1$ ”, para que “ $O_0$ ” coincida con “ $O_1$ ”.
4. Rotación alrededor del eje “ $X_1$ ” un ángulo “ $\alpha_1$ ”, para que “ $Z_0$ ” coincida con “ $Z_1$ ”. Se rota el “ $\{S_0\}$ ”.

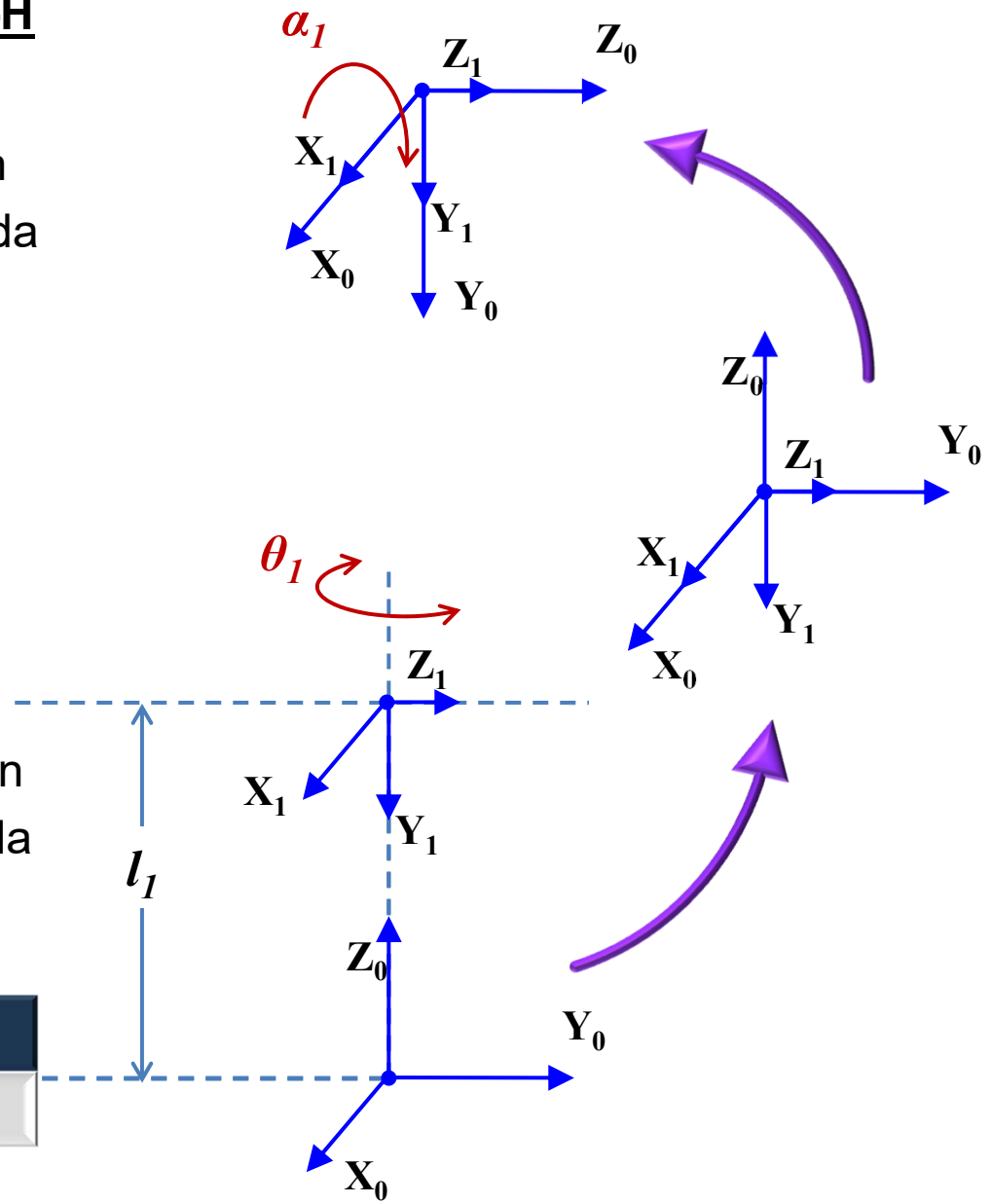


## Obtención de los parámetros de D-H

### ART. 1

1. Rotación alrededor del eje “ $Z_0$ ” un ángulo “ $\theta_I$ ”, para que “ $X_0$ ” coincida con “ $X_I$ ”.
2. Traslación a lo largo de “ $Z_0$ ” una distancia “ $d_I$ ”, para que “ $O_0$ ” coincida con “ $O_I$ ”.
3. Traslación a lo largo de “ $X_I$ ” una distancia “ $a_I$ ”, para que “ $O_0$ ” coincida con “ $O_I$ ”.
4. Rotación alrededor del eje “ $X_I$ ” un ángulo “ $\alpha_I$ ”, para que “ $Z_0$ ” coincida con “ $Z_I$ ”. Se rota el “ $\{S_0\}$ ”.

ART.	$a$	$d$	$\alpha$	$\theta$
1				

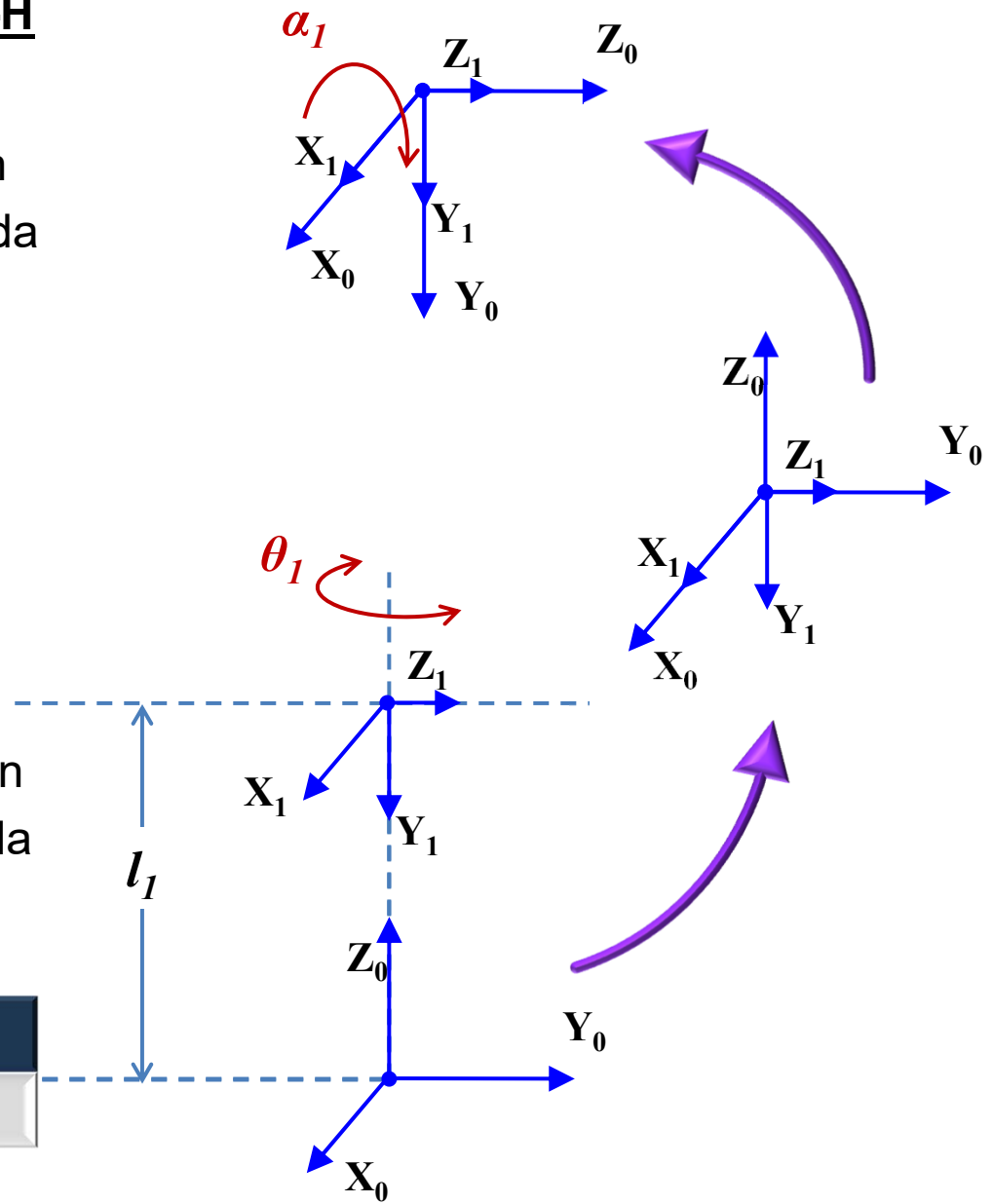


## Obtención de los parámetros de D-H

### ART. 1

1. Rotación alrededor del eje “ $Z_0$ ” un ángulo “ $\theta_I$ ”, para que “ $X_0$ ” coincida con “ $X_I$ ”.
2. Traslación a lo largo de “ $Z_0$ ” una distancia “ $d_I$ ”, para que “ $O_0$ ” coincida con “ $O_I$ ”.
3. Traslación a lo largo de “ $X_I$ ” una distancia “ $a_I$ ”, para que “ $O_0$ ” coincida con “ $O_I$ ”.
4. Rotación alrededor del eje “ $X_I$ ” un ángulo “ $\alpha_I$ ”, para que “ $Z_0$ ” coincida con “ $Z_I$ ”. Se rota el “ $\{S_0\}$ ”.

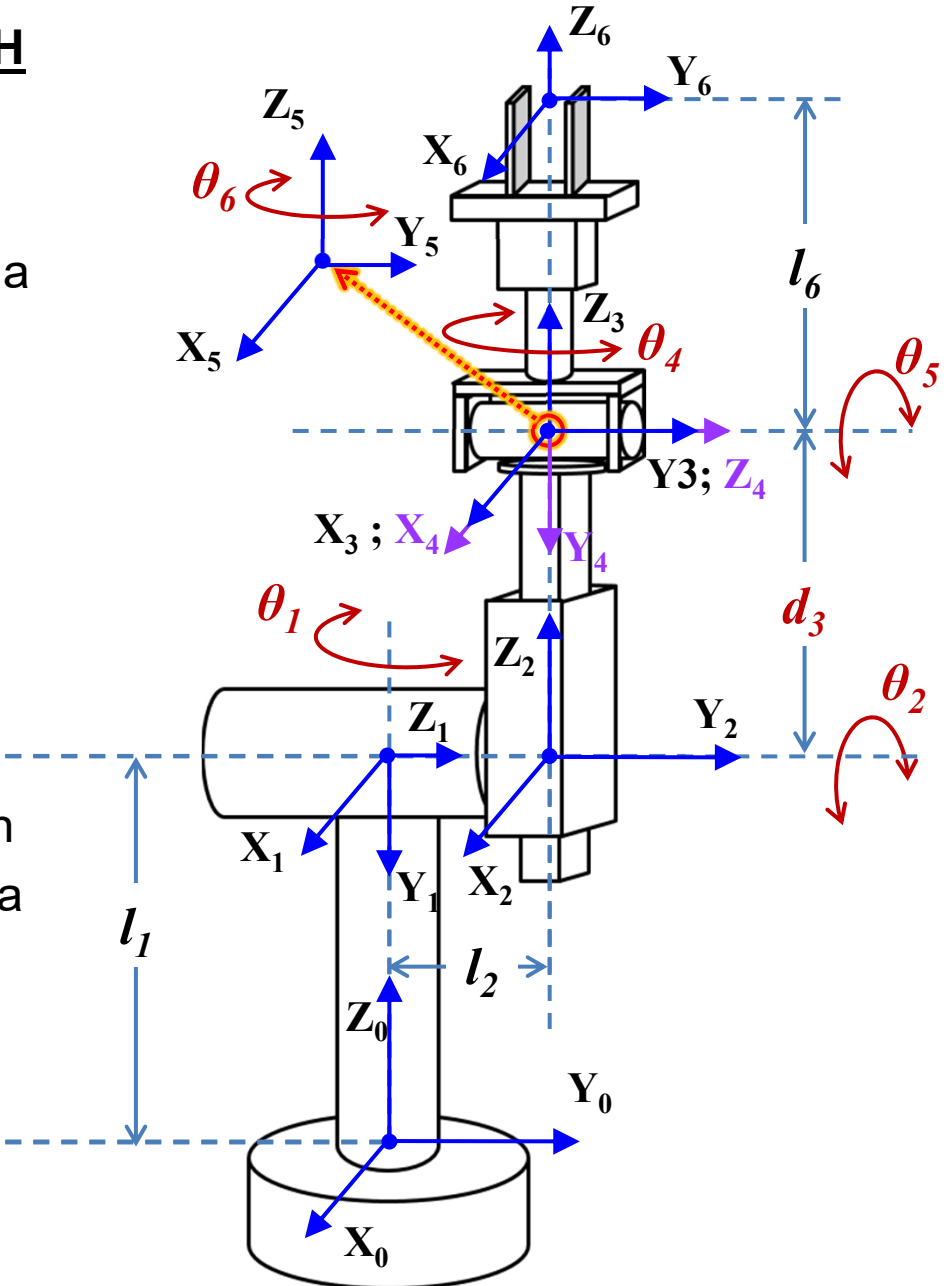
ART.	$a$	$d$	$\alpha$	$\theta$
1	0	$l_I$	$-\pi/2$	$\theta_I$



## Obtención de los parámetros de D-H

### ART. 2

1. Rotación alrededor del eje “ $Z_1$ ” un ángulo “ $\theta_2$ ”, para que “ $X_1$ ” coincida con “ $X_2$ ”.
2. Traslación a lo largo de “ $Z_1$ ” una distancia “ $d_2$ ”, para que “ $O_1$ ” coincida con “ $O_2$ ”.
3. Traslación a lo largo de “ $X_2$ ” una distancia “ $a_2$ ”, para que “ $O_1$ ” coincida con “ $O_2$ ”.
4. Rotación alrededor del eje “ $X_2$ ” un ángulo “ $\alpha_2$ ”, para que “ $Z_1$ ” coincida con “ $Z_2$ ”. Se rota el “ $\{S_I\}$ ”.

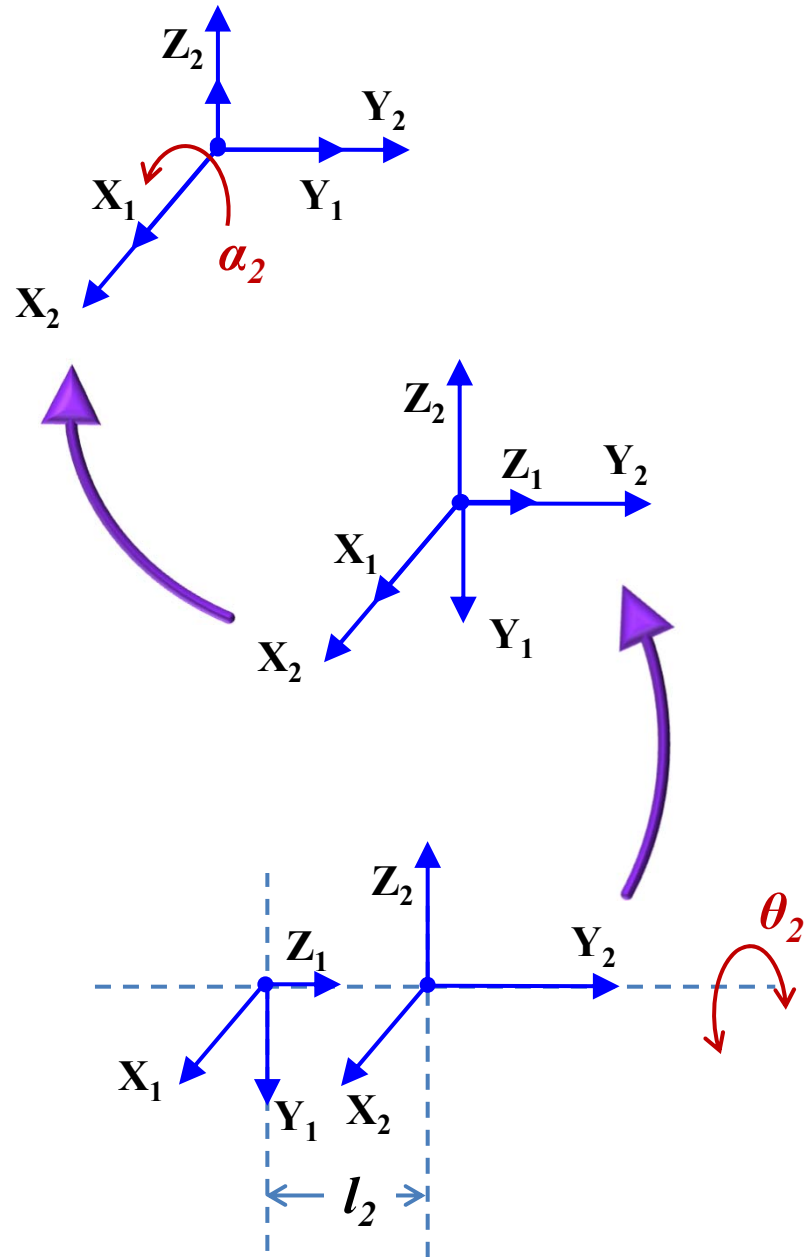


## Obtención de los parámetros de D-H

### ART. 2

1. Rotación alrededor del eje “ $Z_1$ ” un ángulo “ $\theta_2$ ”, para que “ $X_1$ ” coincida con “ $X_2$ ”.
2. Traslación a lo largo de “ $Z_1$ ” una distancia “ $d_2$ ”, para que “ $O_1$ ” coincida con “ $O_2$ ”.
3. Traslación a lo largo de “ $X_2$ ” una distancia “ $a_2$ ”, para que “ $O_1$ ” coincida con “ $O_2$ ”.
4. Rotación alrededor del eje “ $X_2$ ” un ángulo “ $\alpha_2$ ”, para que “ $Z_1$ ” coincida con “ $Z_2$ ”. Se rota el “ $\{S_I\}$ ”.

ART.	$a$	$d$	$\alpha$	$\theta$
2				

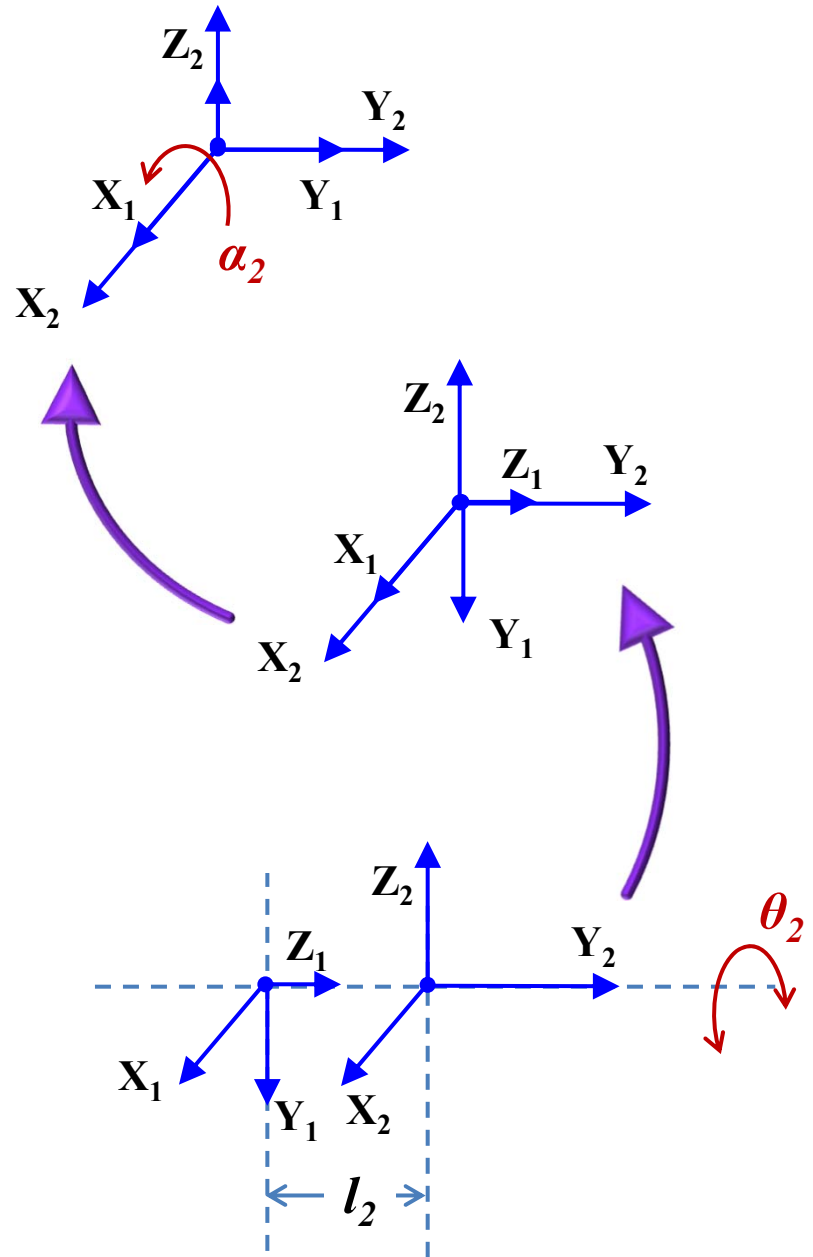


## Obtención de los parámetros de D-H

### ART. 2

1. Rotación alrededor del eje “ $Z_1$ ” un ángulo “ $\theta_2$ ”, para que “ $X_1$ ” coincida con “ $X_2$ ”.
2. Traslación a lo largo de “ $Z_1$ ” una distancia “ $d_2$ ”, para que “ $O_1$ ” coincida con “ $O_2$ ”.
3. Traslación a lo largo de “ $X_2$ ” una distancia “ $a_2$ ”, para que “ $O_1$ ” coincida con “ $O_2$ ”.
4. Rotación alrededor del eje “ $X_2$ ” un ángulo “ $\alpha_2$ ”, para que “ $Z_1$ ” coincida con “ $Z_2$ ”. Se rota el “ $\{S_I\}$ ”.

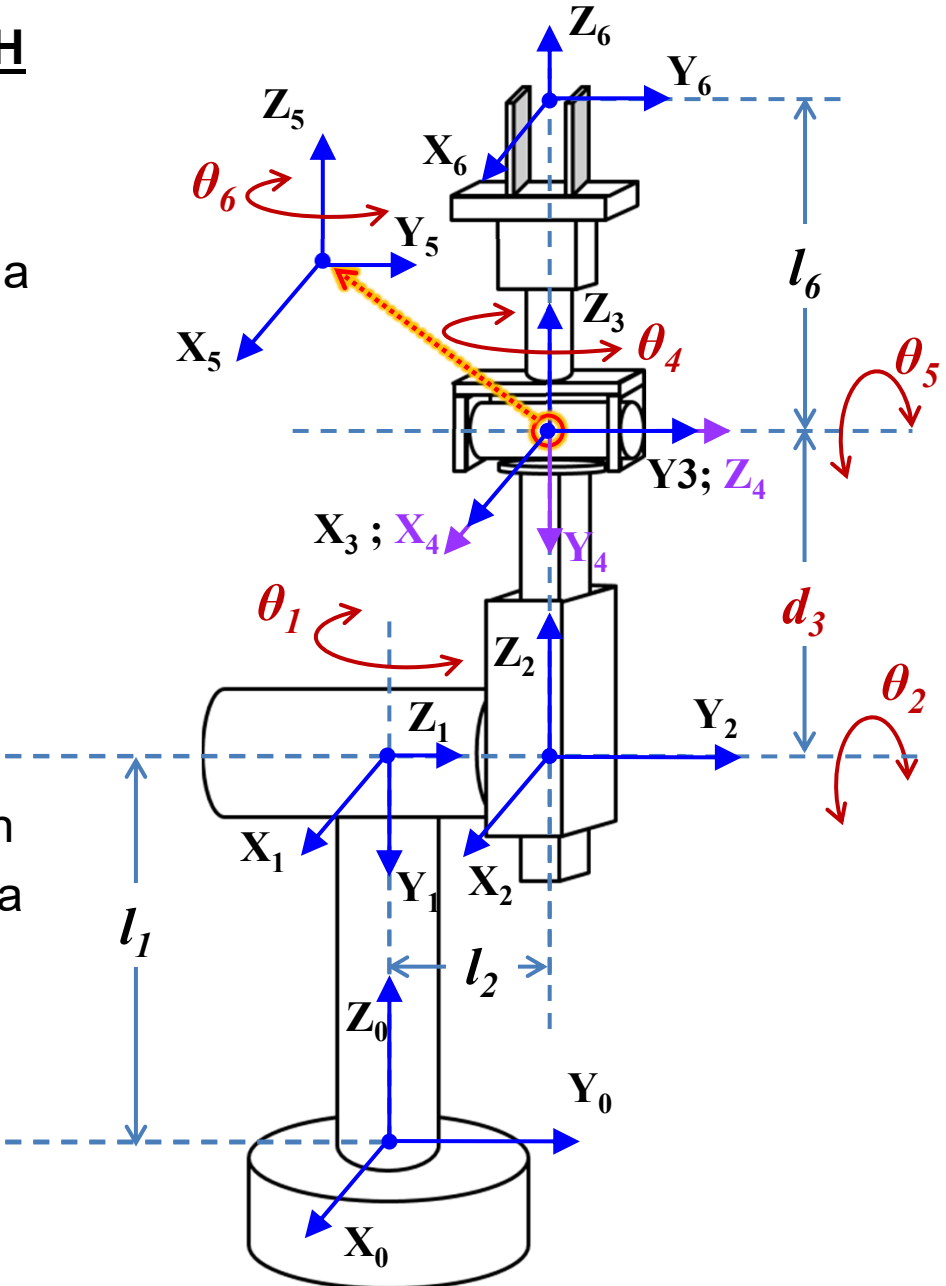
ART.	$a$	$d$	$\alpha$	$\theta$
2	0	$l_2$	$\pi/2$	$\theta_2$



## Obtención de los parámetros de D-H

### ART. 3

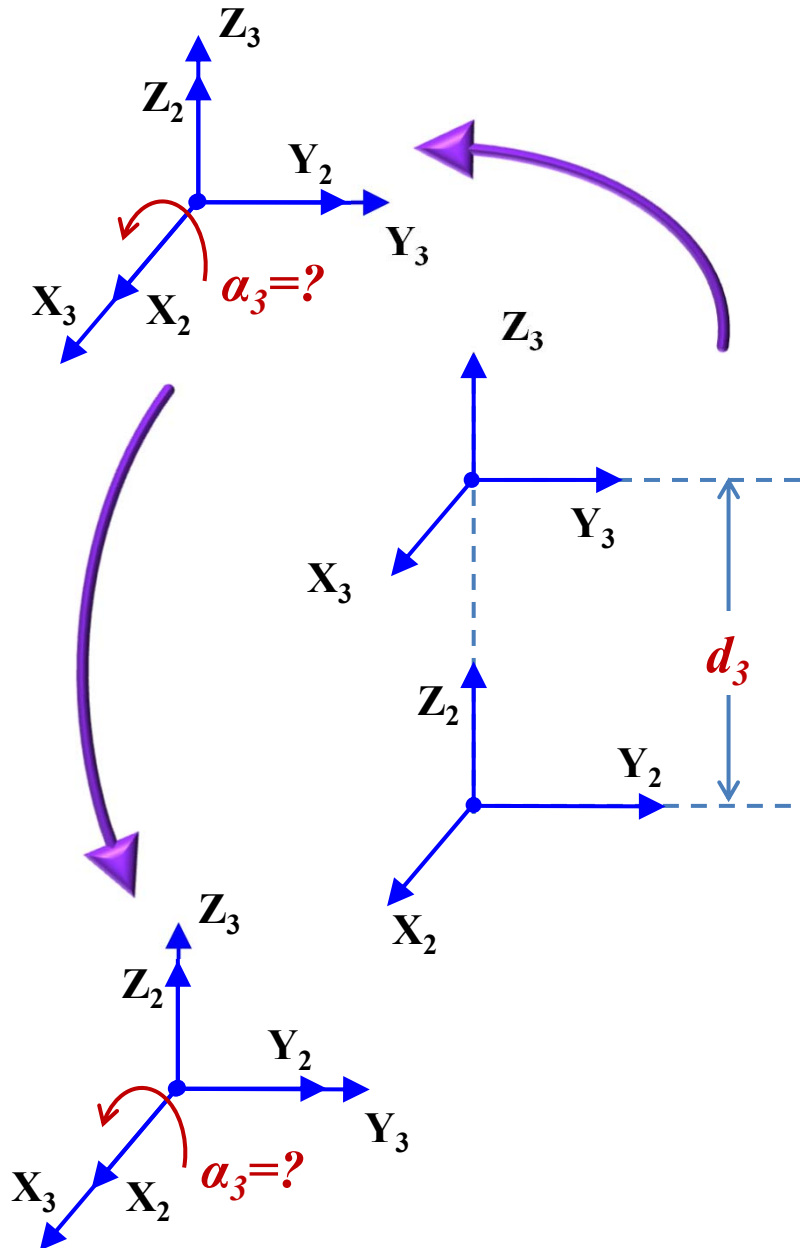
1. Rotación alrededor del eje “ $Z_2$ ” un ángulo “ $\theta_3$ ”, para que “ $X_2$ ” coincida con “ $X_3$ ”.
2. Traslación a lo largo de “ $Z_2$ ” una distancia “ $d_3$ ”, para que “ $O_2$ ” coincida con “ $O_3$ ”.
3. Traslación a lo largo de “ $X_3$ ” una distancia “ $a_3$ ”, para que “ $O_2$ ” coincida con “ $O_3$ ”.
4. Rotación alrededor del eje “ $X_3$ ” un ángulo “ $\alpha_3$ ”, para que “ $Z_2$ ” coincida con “ $Z_3$ ”. Se rota el “[ $S_2$ ]”.



## Obtención de los parámetros de D-H

### ART. 3

1. Rotación alrededor del eje “ $Z_2$ ” un ángulo “ $\theta_3$ ”, para que “ $X_2$ ” coincida con “ $X_3$ ”.
2. Traslación a lo largo de “ $Z_2$ ” una distancia “ $d_3$ ”, para que “ $O_2$ ” coincida con “ $O_3$ ”.
3. Traslación a lo largo de “ $X_3$ ” una distancia “ $a_3$ ”, para que “ $O_2$ ” coincida con “ $O_3$ ”.
4. Rotación alrededor del eje “ $X_3$ ” un ángulo “ $\alpha_3$ ”, para que “ $Z_2$ ” coincida con “ $Z_3$ ”. Se rota el “ $\{S_2\}$ ”.

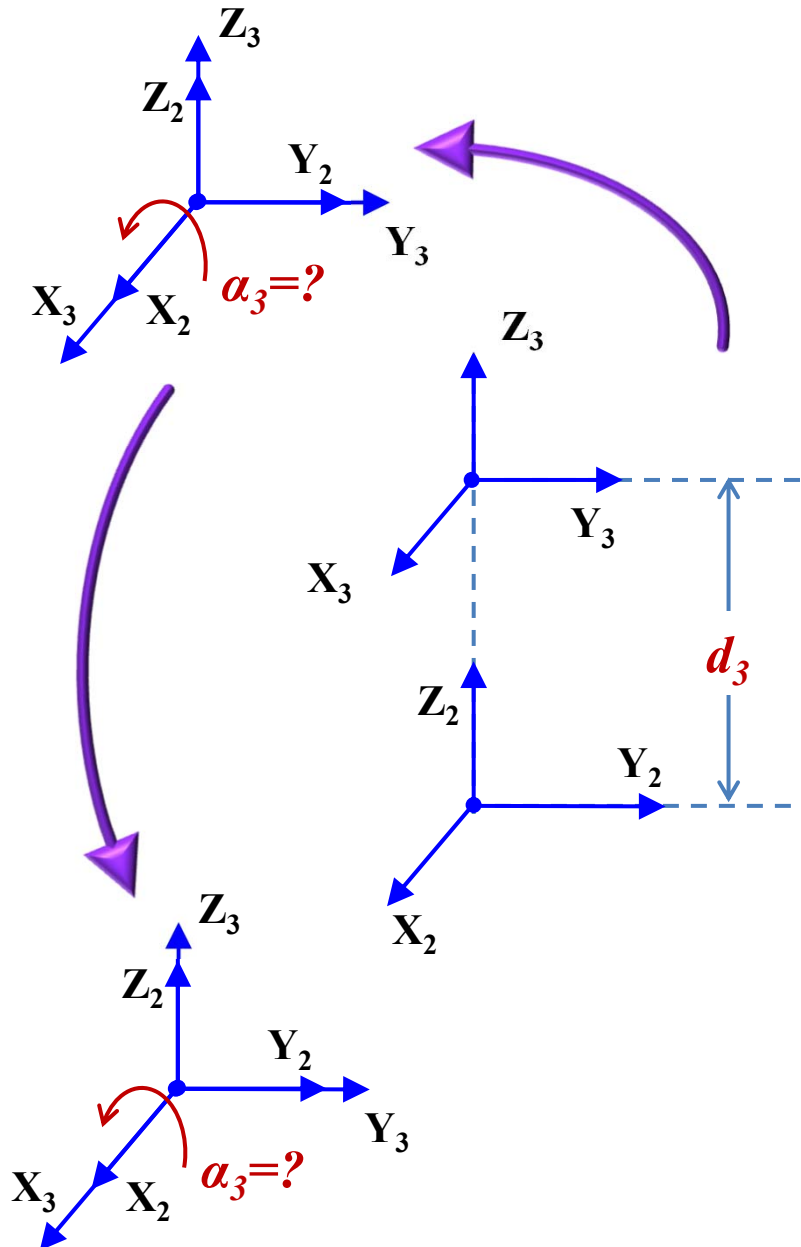


## Obtención de los parámetros de D-H

### ART. 3

1. Rotación alrededor del eje “ $Z_2$ ” un ángulo “ $\theta_3$ ”, para que “ $X_2$ ” coincida con “ $X_3$ ”.
2. Traslación a lo largo de “ $Z_2$ ” una distancia “ $d_3$ ”, para que “ $O_2$ ” coincida con “ $O_3$ ”.
3. Traslación a lo largo de “ $X_3$ ” una distancia “ $a_3$ ”, para que “ $O_2$ ” coincida con “ $O_3$ ”.
4. Rotación alrededor del eje “ $X_3$ ” un ángulo “ $\alpha_3$ ”, para que “ $Z_2$ ” coincida con “ $Z_3$ ”. Se rota el “ $\{S_2\}$ ”.

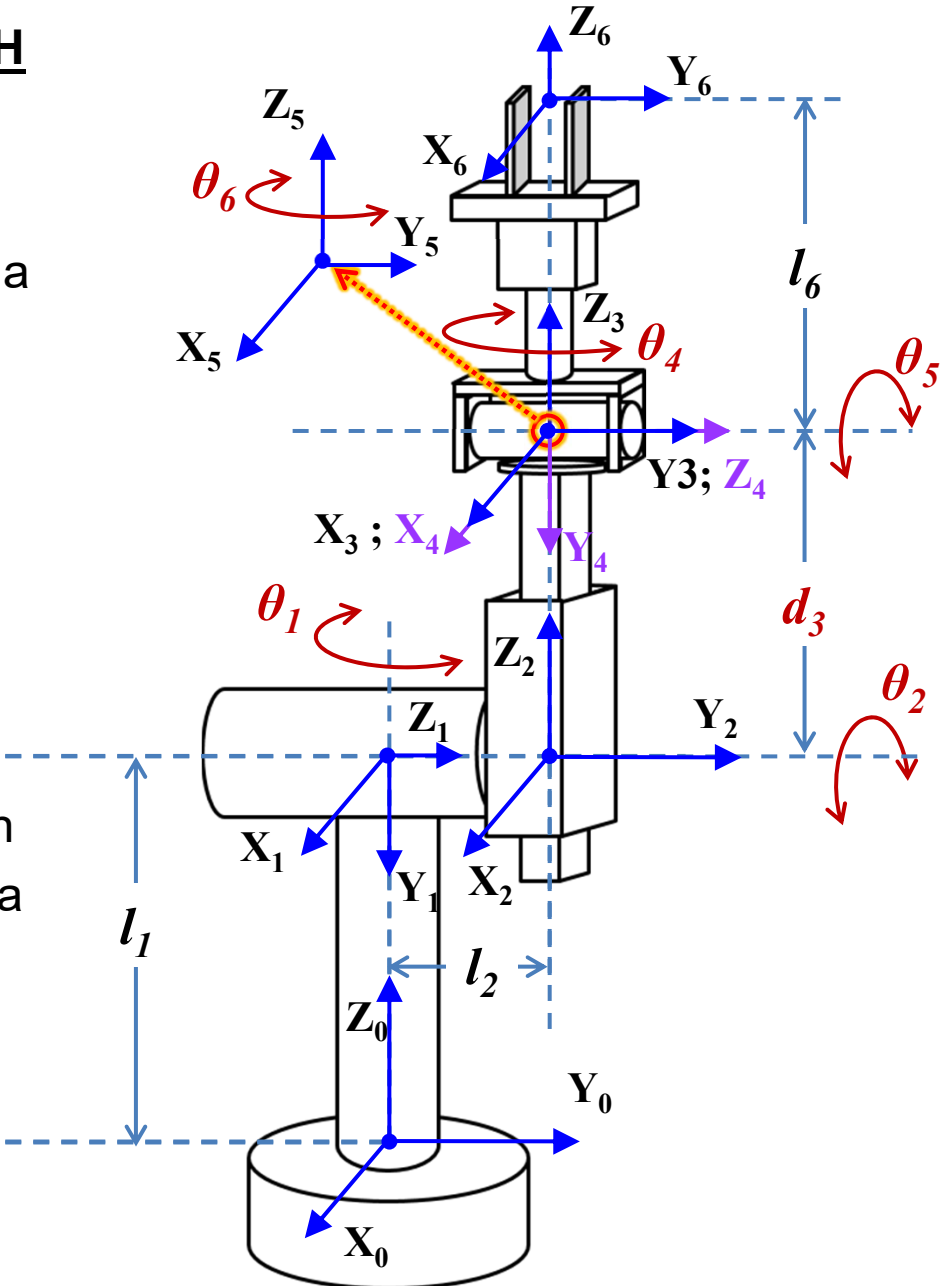
ART.	$a$	$d$	$\alpha$	$\theta$
3	0	$d_3$	0	0



## Obtención de los parámetros de D-H

### ART. 4

1. Rotación alrededor del eje “ $Z_3$ ” un ángulo “ $\theta_4$ ”, para que “ $X_3$ ” coincida con “ $X_4$ ”.
2. Traslación a lo largo de “ $Z_3$ ” una distancia “ $d_4$ ”, para que “ $O_3$ ” coincida con “ $O_4$ ”.
3. Traslación a lo largo de “ $X_4$ ” una distancia “ $a_4$ ”, para que “ $O_3$ ” coincida con “ $O_4$ ”.
4. Rotación alrededor del eje “ $X_4$ ” un ángulo “ $\alpha_4$ ”, para que “ $Z_3$ ” coincida con “ $Z_4$ ”. Se rota el “ $\{S_3\}$ ”.

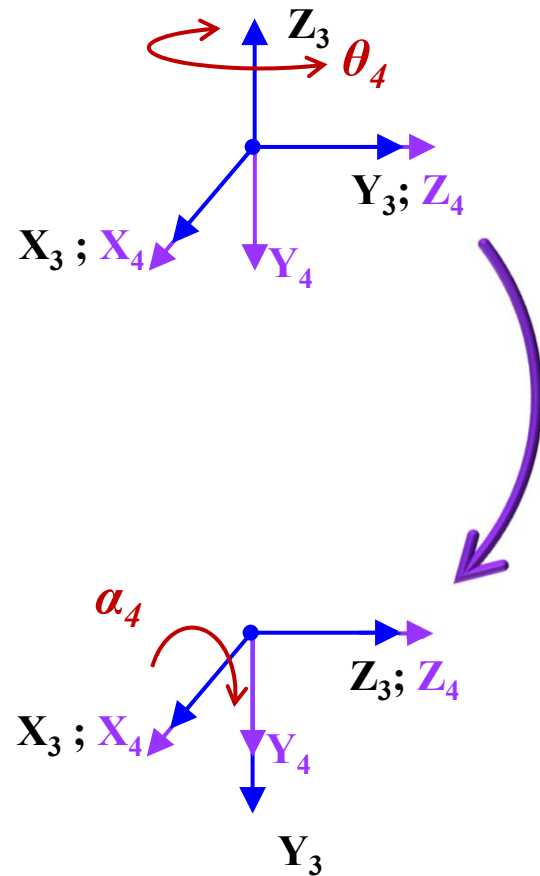


## Obtención de los parámetros de D-H

### ART. 4

1. Rotación alrededor del eje “ $Z_3$ ” un ángulo “ $\theta_4$ ”, para que “ $X_3$ ” coincida con “ $X_4$ ”.
2. Traslación a lo largo de “ $Z_3$ ” una distancia “ $d_4$ ”, para que “ $O_3$ ” coincida con “ $O_4$ ”.
3. Traslación a lo largo de “ $X_4$ ” una distancia “ $a_4$ ”, para que “ $O_3$ ” coincida con “ $O_4$ ”.
4. Rotación alrededor del eje “ $X_4$ ” un ángulo “ $\alpha_4$ ”, para que “ $Z_3$ ” coincida con “ $Z_4$ ”. Se rota el “ $\{S_3\}$ ”.

ART.	$a$	$d$	$\alpha$	$\theta$
4				

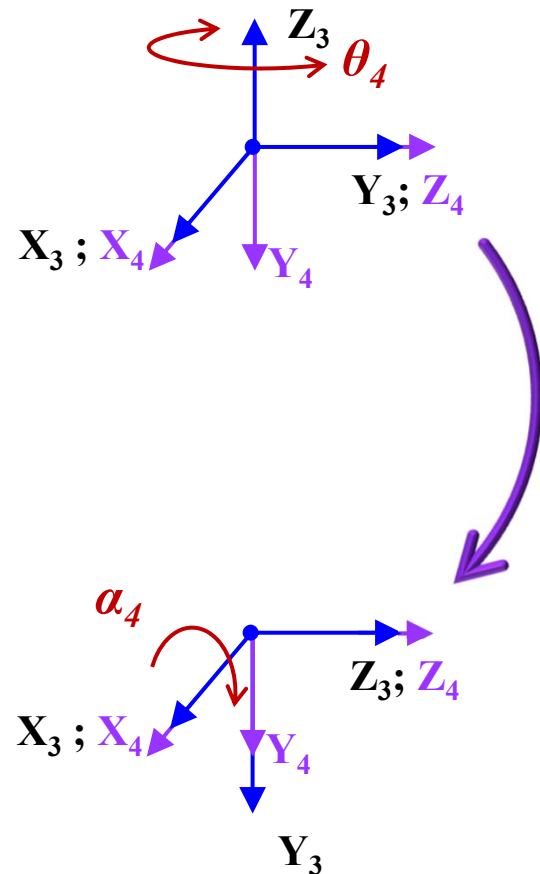


## Obtención de los parámetros de D-H

### ART. 4

1. Rotación alrededor del eje “ $Z_3$ ” un ángulo “ $\theta_4$ ”, para que “ $X_3$ ” coincida con “ $X_4$ ”.
2. Traslación a lo largo de “ $Z_3$ ” una distancia “ $d_4$ ”, para que “ $O_3$ ” coincida con “ $O_4$ ”.
3. Traslación a lo largo de “ $X_4$ ” una distancia “ $a_4$ ”, para que “ $O_3$ ” coincida con “ $O_4$ ”.
4. Rotación alrededor del eje “ $X_4$ ” un ángulo “ $\alpha_4$ ”, para que “ $Z_3$ ” coincida con “ $Z_4$ ”. Se rota el “ $\{S_3\}$ ”.

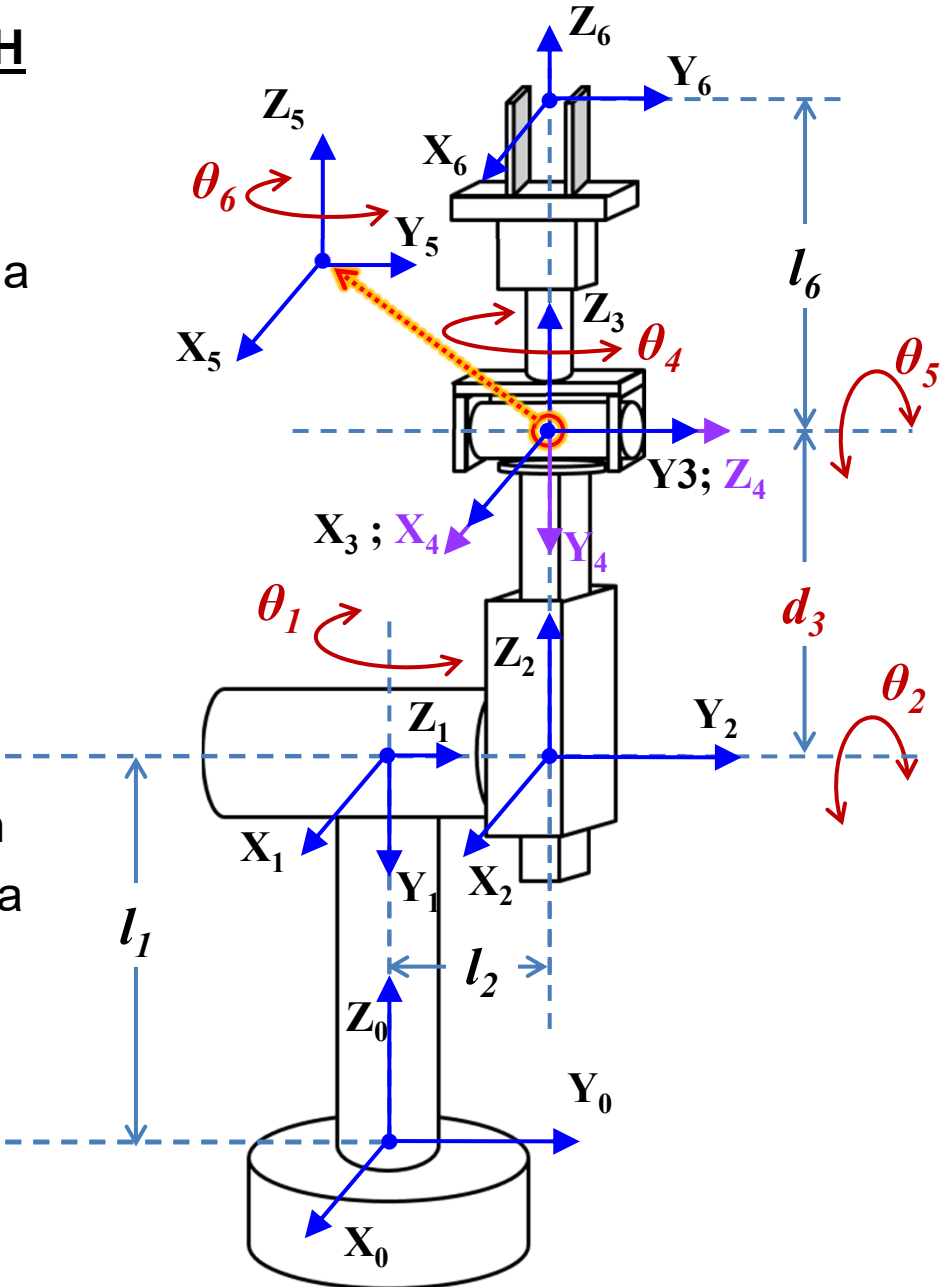
ART.	$a$	$d$	$\alpha$	$\theta$
4	0	0	$-\pi/2$	$\theta_4$



## Obtención de los parámetros de D-H

### ART. 5

1. Rotación alrededor del eje “ $Z_4$ ” un ángulo “ $\theta_5$ ”, para que “ $X_4$ ” coincida con “ $X_5$ ”.
2. Traslación a lo largo de “ $Z_4$ ” una distancia “ $d_5$ ”, para que “ $O_4$ ” coincida con “ $O_5$ ”.
3. Traslación a lo largo de “ $X_5$ ” una distancia “ $a_5$ ”, para que “ $O_4$ ” coincida con “ $O_5$ ”.
4. Rotación alrededor del eje “ $X_5$ ” un ángulo “ $\alpha_5$ ”, para que “ $Z_4$ ” coincida con “ $Z_5$ ”. Se rota el “ $\{S_4\}$ ”.

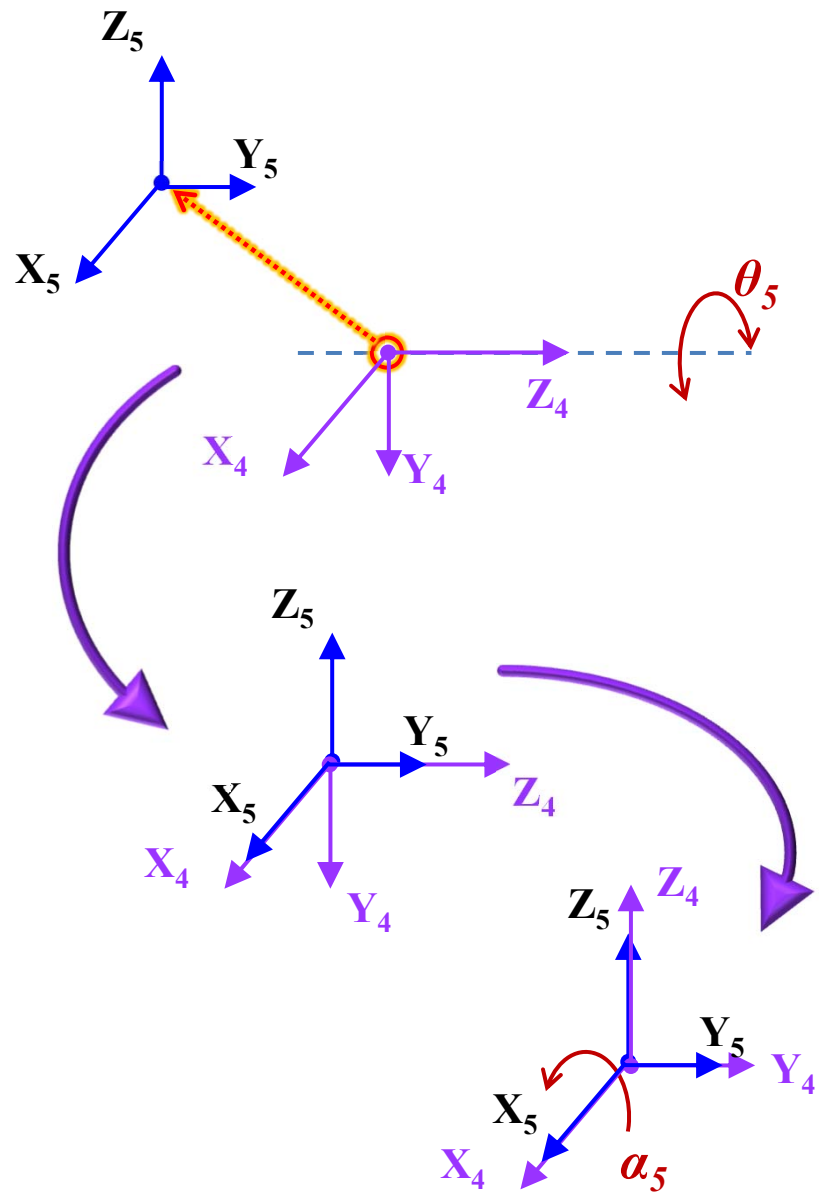


## Obtención de los parámetros de D-H

### ART. 5

1. Rotación alrededor del eje “ $Z_4$ ” un ángulo “ $\theta_5$ ”, para que “ $X_4$ ” coincida con “ $X_5$ ”.
2. Traslación a lo largo de “ $Z_4$ ” una distancia “ $d_5$ ”, para que “ $O_4$ ” coincida con “ $O_5$ ”.
3. Traslación a lo largo de “ $X_5$ ” una distancia “ $a_5$ ”, para que “ $O_4$ ” coincida con “ $O_5$ ”.
4. Rotación alrededor del eje “ $X_5$ ” un ángulo “ $\alpha_5$ ”, para que “ $Z_4$ ” coincida con “ $Z_5$ ”. Se rota el “ $\{S_4\}$ ”.

ART.	$a$	$d$	$\alpha$	$\theta$
5				

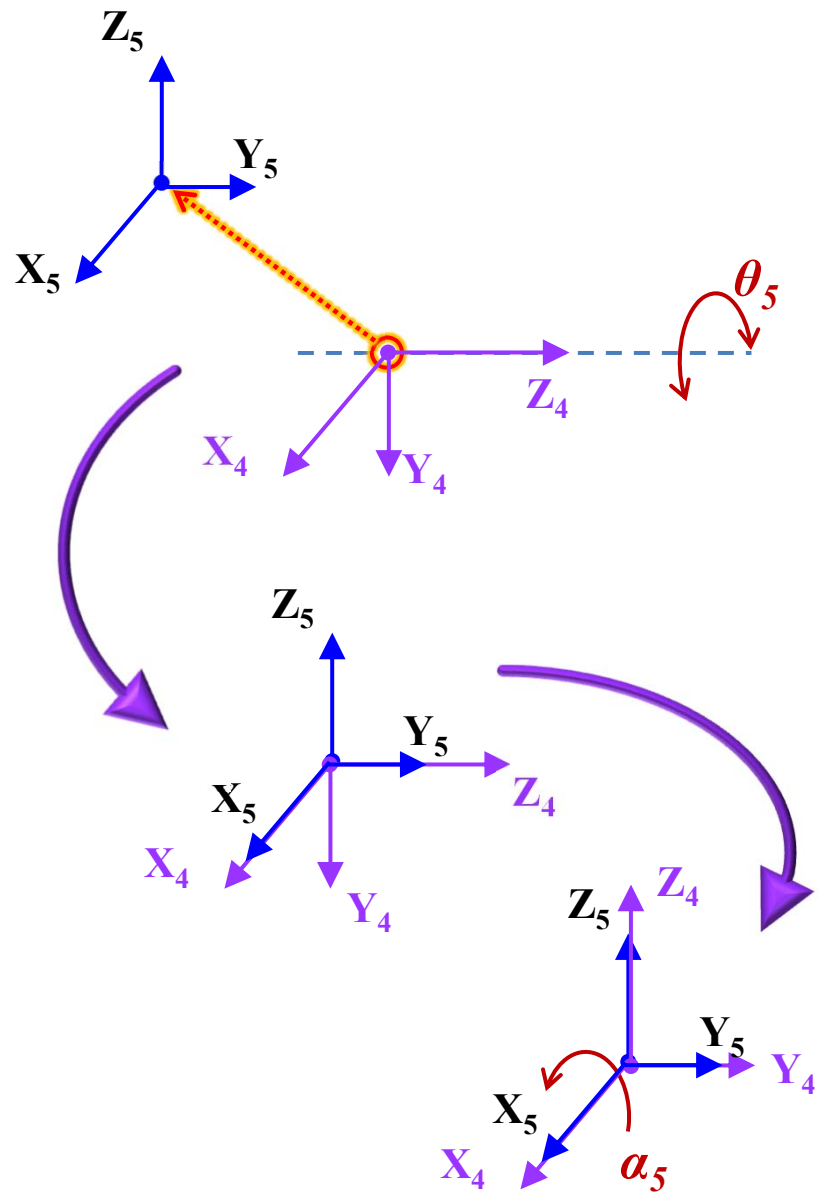


## Obtención de los parámetros de D-H

### ART. 5

1. Rotación alrededor del eje “ $Z_4$ ” un ángulo “ $\theta_5$ ”, para que “ $X_4$ ” coincida con “ $X_5$ ”.
2. Traslación a lo largo de “ $Z_4$ ” una distancia “ $d_5$ ”, para que “ $O_4$ ” coincida con “ $O_5$ ”.
3. Traslación a lo largo de “ $X_5$ ” una distancia “ $a_5$ ”, para que “ $O_4$ ” coincida con “ $O_5$ ”.
4. Rotación alrededor del eje “ $X_5$ ” un ángulo “ $\alpha_5$ ”, para que “ $Z_4$ ” coincida con “ $Z_5$ ”. Se rota el “ $\{S_4\}$ ”.

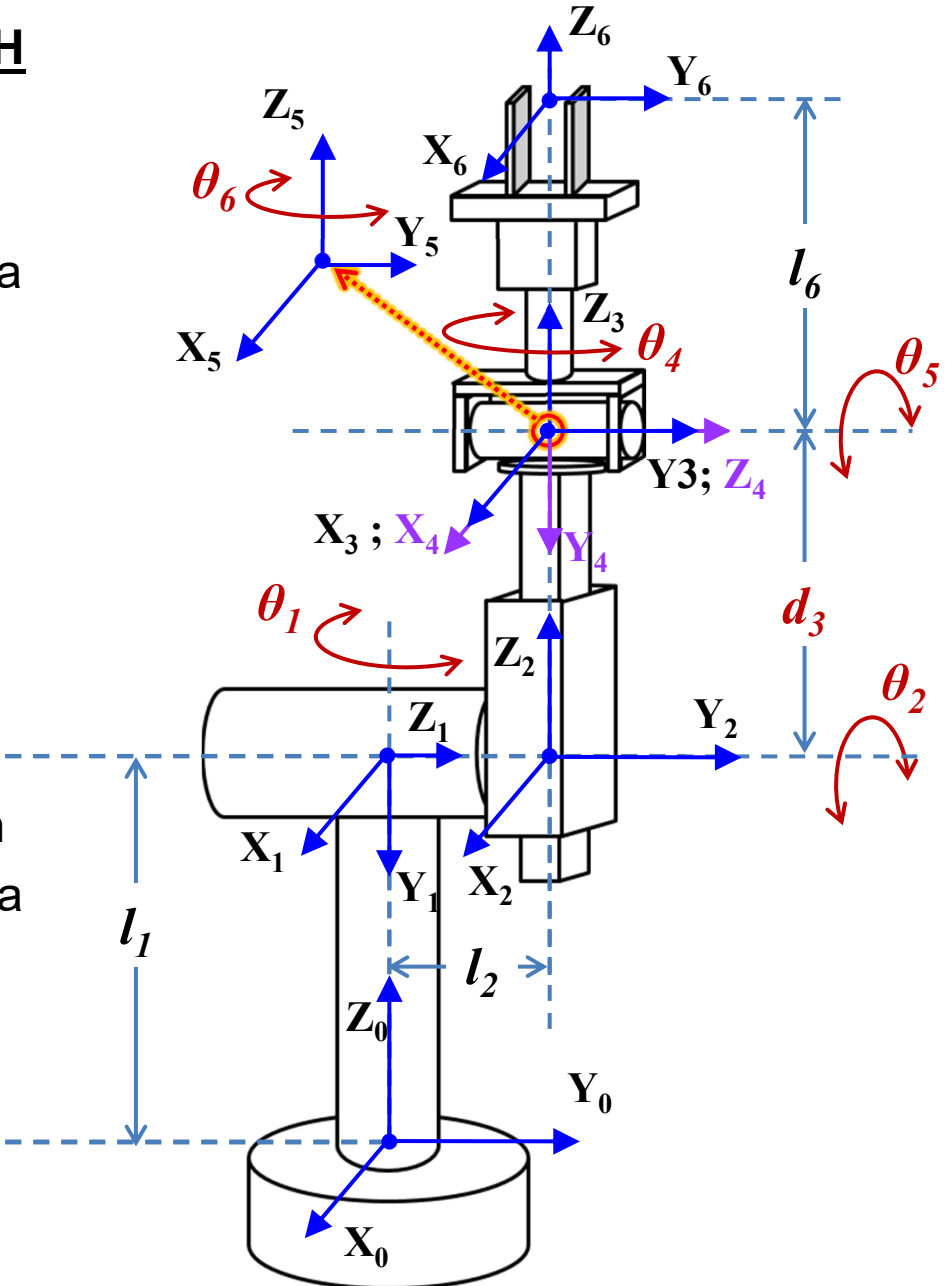
ART.	$a$	$d$	$\alpha$	$\theta$
5	0	0	$\pi/2$	$\theta_5$



## Obtención de los parámetros de D-H

### ART. 6

1. Rotación alrededor del eje “ $Z_5$ ” un ángulo “ $\theta_6$ ”, para que “ $X_5$ ” coincida con “ $X_6$ ”.
2. Traslación a lo largo de “ $Z_5$ ” una distancia “ $d_6$ ”, para que “ $O_5$ ” coincida con “ $O_6$ ”.
3. Traslación a lo largo de “ $X_6$ ” una distancia “ $a_6$ ”, para que “ $O_5$ ” coincida con “ $O_6$ ”.
4. Rotación alrededor del eje “ $X_6$ ” un ángulo “ $\alpha_6$ ”, para que “ $Z_5$ ” coincida con “ $Z_6$ ”. Se rota el “ $\{S_5\}$ ”.

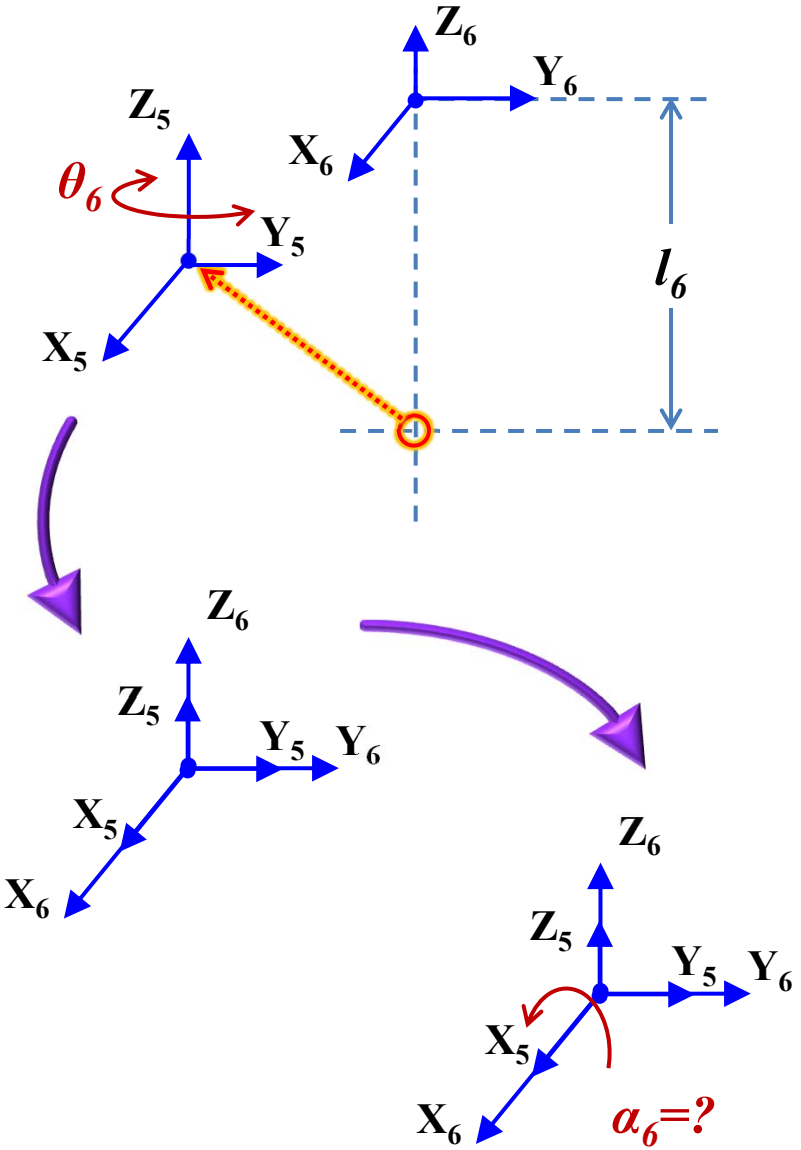


## Obtención de los parámetros de D-H

### ART. 6

1. Rotación alrededor del eje “ $Z_5$ ” un ángulo “ $\theta_6$ ”, para que “ $X_5$ ” coincida con “ $X_6$ ”.
2. Traslación a lo largo de “ $Z_5$ ” una distancia “ $d_6$ ”, para que “ $O_5$ ” coincida con “ $O_6$ ”.
3. Traslación a lo largo de “ $X_6$ ” una distancia “ $a_6$ ”, para que “ $O_5$ ” coincida con “ $O_6$ ”.
4. Rotación alrededor del eje “ $X_6$ ” un ángulo “ $\alpha_6$ ”, para que “ $Z_5$ ” coincida con “ $Z_6$ ”. Se rota el “ $\{S_5\}$ ”.

ART.	$a$	$d$	$\alpha$	$\theta$
6				

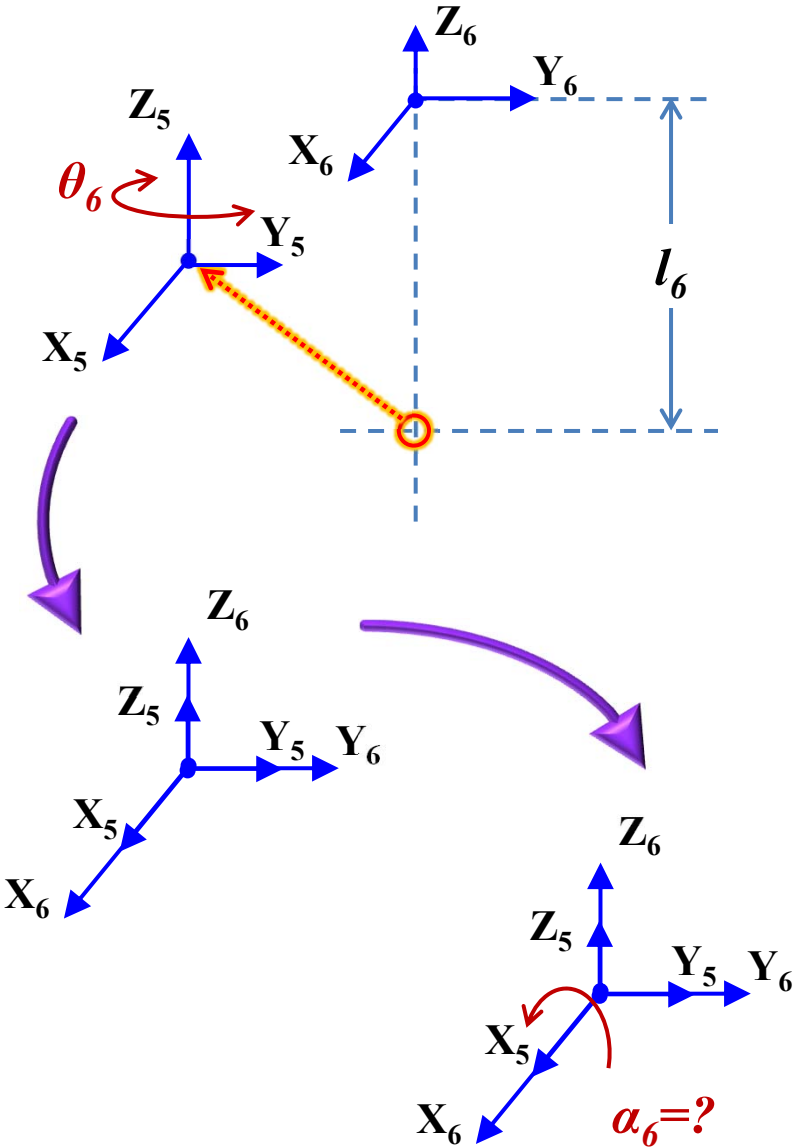


## Obtención de los parámetros de D-H

### ART. 6

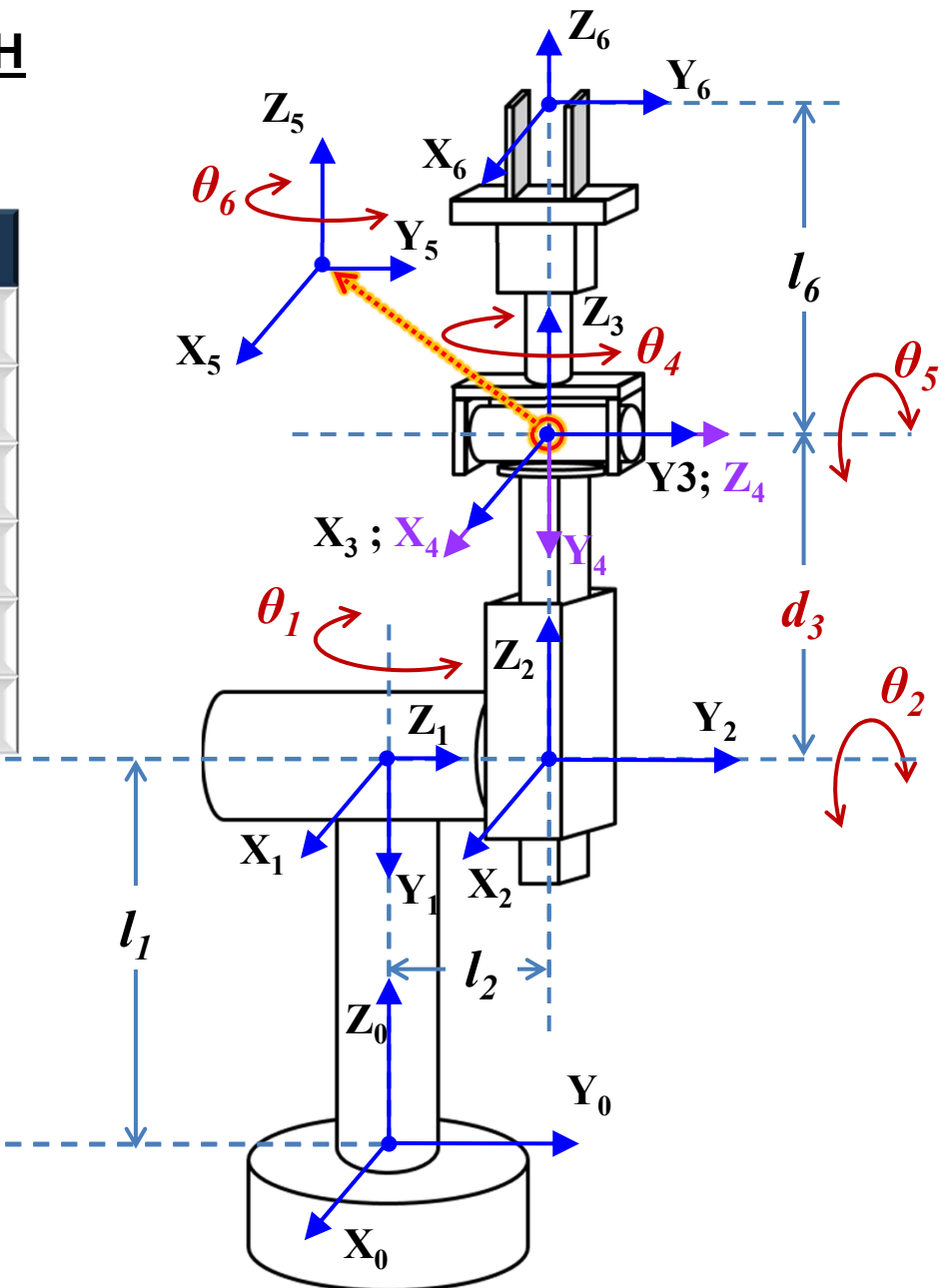
1. Rotación alrededor del eje “ $Z_5$ ” un ángulo “ $\theta_6$ ”, para que “ $X_5$ ” coincida con “ $X_6$ ”.
2. Traslación a lo largo de “ $Z_5$ ” una distancia “ $d_6$ ”, para que “ $O_5$ ” coincida con “ $O_6$ ”.
3. Traslación a lo largo de “ $X_6$ ” una distancia “ $a_6$ ”, para que “ $O_5$ ” coincida con “ $O_6$ ”.
4. Rotación alrededor del eje “ $X_6$ ” un ángulo “ $\alpha_6$ ”, para que “ $Z_5$ ” coincida con “ $Z_6$ ”. Se rota el “ $\{S_5\}$ ”.

ART.	$a$	$d$	$\alpha$	$\theta$
6	0	$l_6$	0	$\theta_6$



## Obtención de los parámetros de D-H

ART.	$a$	$d$	$\alpha$	$\theta$
1	0	$l_1$	$-\pi/2$	$\theta_1$
2	0	$l_2$	$\pi/2$	$\theta_2$
3	0	$d_3$	0	0
4	0	0	$-\pi/2$	$\theta_4$
5	0	0	$\pi/2$	$\theta_5$
6	0	$l_6$	0	$\theta_6$



## Matrices de transformación homogénea de cada articulación

ART.	a	d	$\alpha$	$\theta$
1	0	$l_1$	$-\pi/2$	$\theta_1$
2	0	$l_2$	$\pi/2$	$\theta_2$
3	0	$d_3$	0	0
4	0	0	$-\pi/2$	$\theta_4$
5	0	0	$\pi/2$	$\theta_5$
6	0	$l_6$	0	$\theta_6$

$${}^{i-1}\mathbf{A}_i = \begin{bmatrix} \cos \theta_i & -\cos \alpha_i \sin \theta_i & \sin \alpha_i \sin \theta_i & a_i \cos \theta_i \\ \sin \theta_i & \cos \alpha_i \cos \theta_i & -\sin \alpha_i \cos \theta_i & a_i \sin \theta_i \\ 0 & \sin \alpha_i & \cos \alpha_i & d_i \\ 0 & 0 & 0 & 1 \end{bmatrix}$$

$${}^0\mathbf{A}_1 = \begin{bmatrix} C1 & 0 & -S1 & 0 \\ S1 & 0 & C1 & 0 \\ 0 & -1 & 0 & l_1 \\ 0 & 0 & 0 & 1 \end{bmatrix}$$

$${}^2\mathbf{A}_3 = \begin{bmatrix} 1 & 0 & 0 & 0 \\ 0 & 1 & 0 & 0 \\ 0 & 0 & 1 & d_3 \\ 0 & 0 & 0 & 1 \end{bmatrix} \quad {}^3\mathbf{A}_4 = \begin{bmatrix} C4 & 0 & -S4 & 0 \\ S4 & 0 & C4 & 0 \\ 0 & -1 & 0 & 0 \\ 0 & 0 & 0 & 1 \end{bmatrix}$$

$${}^4\mathbf{A}_5 = \begin{bmatrix} C5 & 0 & S5 & 0 \\ S5 & 0 & -C5 & 0 \\ 0 & 1 & 0 & 0 \\ 0 & 0 & 0 & 1 \end{bmatrix} \quad {}^5\mathbf{A}_6 = \begin{bmatrix} C6 & -S6 & 0 & 0 \\ S6 & C6 & 0 & 0 \\ 0 & 0 & 1 & l_6 \\ 0 & 0 & 0 & 1 \end{bmatrix}$$

$${}^1\mathbf{A}_2 = \begin{bmatrix} C2 & 0 & S2 & 0 \\ S2 & 0 & -C2 & 0 \\ 0 & 1 & 0 & l_2 \\ 0 & 0 & 0 & 1 \end{bmatrix}$$

$$\mathbf{T} = {}^0\mathbf{A}_1 {}^1\mathbf{A}_2 {}^2\mathbf{A}_3 {}^3\mathbf{A}_4 {}^4\mathbf{A}_5 {}^5\mathbf{A}_6$$

## Matrices de transformación homogénea del robot

Para ello se utilizará el siguiente código de Matlab®:

```
%multiplicación de matrices simbólicas
%declaración de símbolos
syms C1 S1 L1 C2 S2 L2 d3 C4 S4 C5 S5 C6 S6 L6

%matrices de transformación Ai
A1=[C1 0 -S1 0; S1 0 C1 0; 0 -1 0 L1; 0 0 0 1];
A2=[C2 0 S2 0; S2 0 -C2 0; 0 1 0 L2; 0 0 0 1];
A3=[1 0 0 0; 0 1 0 0; 0 0 1 d3; 0 0 0 1];
A4=[C4 0 -S4 0; S4 0 C4 0; 0 -1 0 0; 0 0 0 1];
A5=[C5 0 S5 0; S5 0 -C5 0; 0 1 0 0; 0 0 0 1];
A6=[C6 -S6 0 0; S6 C6 0 0; 0 0 1 L6; 0 0 0 1];

%Obtención de la matriz de transformación homogénea T
T=A1*A2*A3*A4*A5*A6;

% Luego, en el command windows escriba T y obtendrá la
resuesta.
```

## Matrices de transformación homogénea del robot

Para ello se utilizará el siguiente código de Matlab®:

```
% Si desea ver la respuesta de una manera más  
adecuada/resumida puede utilizar la función 'pretty(T)' de  
esta manera  
pretty(T);
```

La respuesta de T en el *Command Window* de Matlab es la siguiente:

### Fila 1 de T

[ - S6\*(C4\*S1 + C1\*C2\*S4) - C6\*(C5\*(S1\*S4 - C1\*C2\*C4) + C1\*S2\*S5), S6\*(C5\*(S1\*S4 - C1\*C2\*C4) + C1\*S2\*S5) - C6\*(C4\*S1 + C1\*C2\*S4), C1\*C5\*S2 - S5\*(S1\*S4 - C1\*C2\*C4),  
C1\*S2\*d3 - L2\*S1 - L6\*(S5\*(S1\*S4 - C1\*C2\*C4) - C1\*C5\*S2)]

### Fila 2 de T

[ S6\*(C1\*C4 - C2\*S1\*S4) + C6\*(C5\*(C1\*S4 + C2\*C4\*S1) - S1\*S2\*S5), C6\*(C1\*C4 - C2\*S1\*S4) - S6\*(C5\*(C1\*S4 + C2\*C4\*S1) - S1\*S2\*S5), S5\*(C1\*S4 + C2\*C4\*S1) + C5\*S1\*S2,  
L6\*(S5\*(C1\*S4 + C2\*C4\*S1) + C5\*S1\*S2) + C1\*L2 + S1\*S2\*d3]

## Matrices de transformación homogénea del robot

La respuesta de T en el *Command Window* de Matlab es la siguiente:

Fila 3 de T

$$[ S2*S4*S6 - C6*(C2*S5 + C4*C5*S2), \quad S6*(C2*S5 + C4*C5*S2) + C6*S2*S4, \\ C2*C5 - C4*S2*S5, L1 + C2*d3 + L6*(C2*C5 - C4*S2*S5) ]$$

Fila 4 de T

$$[ \quad 0, \quad 0, \quad 1 ]$$

Con **pretty(T)**, la respuesta sería la siguiente:

$$\begin{bmatrix} -S6\#4 - C6\#7, & S6\#7 - C6\#4, & C1\,C5\,S2 - S5\#9, & C1\,S2\,d3 - L2\,S1 - L6\,(S5\#9 - C1\,C5\,S2) \\ | & | & | & | \\ S6\#3 + C6\#5, & C6\#3 - S6\#5, & \#6, & L6\#6 + C1\,L2 + S1\,S2\,d3 \\ | & | & | & | \\ S2\,S4\,S6 - C6\#2, & S6\#2 + C6\,S2\,S4, & \#1, & L1 + C2\,d3 + L6\#\#1 \\ | & | & | & | \\ \quad 0, & \quad 0, & \quad 0, & \quad 1 \end{bmatrix}$$

## Matrices de transformación homogénea del robot

Donde los números representan lo siguiente,

$$\#1 == C2 \ C5 - C4 \ S2 \ S5$$

$$\#2 == C2 \ S5 + C4 \ C5 \ S2$$

$$\#3 == C1 \ C4 - C2 \ S1 \ S4$$

$$\#4 == C4 \ S1 + C1 \ C2 \ S4$$

$$\#5 == C5 \ #8 - S1 \ S2 \ S5$$

$$\#6 == S5 \ #8 + C5 \ S1 \ S2$$

$$\#7 == C5 \ #9 + C1 \ S2 \ S5$$

$$\#8 == C1 \ S4 + C2 \ C4 \ S1$$

$$\#9 == S1 \ S4 - C1 \ C2 \ C4$$

## Matrices de transformación homogénea del robot

De aquí, se encuentran las posiciones  $px$ ,  $py$  y  $pz$  del robot

$$px = C1 S2 d3 - L2 S1 - L6 (S5 #9 - C1 C5 S2)$$

$$px = C1 S2 d3 - L2 S1 - L6 [S5 (S1 S4 - C1 C2 C4) - C1 C5 S2]$$

$$py = L6 #6 + C1 L2 + S1 S2 d3$$

$$py = L6 [S5 #8 + C5 S1 S2] + C1 L2 + S1 S2 d3$$

$$py = L6 [S5 (C1 S4 + C2 C4 S1) + C5 S1 S2] + C1 L2 + S1 S2 d3$$

$$pz = L1 + C2 d3 + L6 #1$$

$$pz = L1 + C2 d3 + L6 (C2 C5 - C4 S2 S5)$$

## Utilizando la Robotics System Toolbox

```
% Modelo del robot de Standford usando la Robotics System
Toolbox
% se declaran algunas variables simbólicas (con 'q' se tienen
todas las variables)
syms q1 q2 q3 q4 q5 q6 d1 d2 d6

% usando los parámetros de D-H se completa cada articulación
L1=Revolute('a', 0, 'd', d1, 'alpha', -pi/2);
L2=Revolute('a', 0, 'd', d2, 'alpha', pi/2);
L3=Prismatic('a', 0, 'theta', 0, 'alpha', 0);
L4=Revolute('a', 0, 'd', 0, 'alpha', -pi/2);
L5=Revolute('a', 0, 'd', 0, 'alpha', pi/2);
L6=Revolute('a', 0, 'd', d6, 'alpha', 0);

L=[L1 L2 L3 L4 L5 L6]; % vector con todas las articulaciones

% se realiza los enlaces de las articulaciones
R_Stanford = SerialLink(L, 'name', 'R-STD');

%obtención de la matriz de transformación homogénea
T = R_Stanford.fkine([q1 q2 q3 q4 q5 q6]);
```

## Utilizando la Robotics System Toolbox

En el Command Window se puede obtener los parámetros de D-H

```
>>R_Stanford
```

```
R_Stanford =  
  
R-STD:: 6 axis, RRPURR, stdDH, slowRNE, Symbolic  
+-----+-----+-----+-----+  
| j | theta | d | a | alpha | offset |  
+-----+-----+-----+-----+  
| 1 | q1 | d1 | 0 | -1.5708 | 0 |  
| 2 | q2 | d2 | 0 | 1.5708 | 0 |  
| 3 | 0 | q3 | 0 | 0 | 0 |  
| 4 | q4 | 0 | 0 | -1.5708 | 0 |  
| 5 | q5 | 0 | 0 | 1.5708 | 0 |  
| 6 | q6 | d6 | 0 | 0 | 0 |  
+-----+-----+-----+
```

## Utilizando la Robotics System Toolbox

También se puede obtener la MTH. Sin embargo, como es sabido es muy grande.  
A manera de ejemplo, solo se colocará la respuesta de px.

>>T

```
(24678615572571482867467662723121*d6*cos(q1)*sin(q2))/6582018229284824168619876730229402019930943462534319453394436096 -  
(122597380068651197257713859414983140362437055831*d6*sin(q1))/53399675898022752059875542654238802865067613058916319248676  
0401955554931445160137505740521734144 - (4967757600021511*q3*sin(q1))/81129638414606681695789005144064 - d2*sin(q1) +  
(122597380068651197257713859414983140362437055831*d6*cos(q2)*sin(q1))/5339967589802275205987554265423880286506761305891631  
92486760401955554931445160137505740521734144 - (4967757600021511*d6*cos(q4)*sin(q1))/81129638414606681695789005144064 -  
(4967757600021511*d6*cos(q5)*sin(q1))/81129638414606681695789005144064 + q3*cos(q1)*sin(q2) +  
(4967757600021511*q3*cos(q2)*sin(q1))/81129638414606681695789005144064 -  
(4967757600021511*d6*cos(q1)*cos(q2)*sin(q4))/81129638414606681695789005144064 -  
(24678615572571482867467662723121*d6*cos(q1)*cos(q4)*sin(q2))/6582018229284824168619876730229402019930943462534319453394436  
096 -  
(122597380068651197257713859414983140362437055831*d6*cos(q2)*cos(q4)*sin(q1))/533996758980227520598755426542388028650676130  
589163192486760401955554931445160137505740521734144 + d6*cos(q1)*cos(q5)*sin(q2) +  
(4967757600021511*d6*cos(q2)*cos(q5)*sin(q1))/81129638414606681695789005144064 +  
(4967757600021511*d6*cos(q4)*cos(q5)*sin(q1))/81129638414606681695789005144064 +  
(24678615572571482867467662723121*d6*sin(q1)*sin(q2)*sin(q4))/65820182292848241686198767302294020199309434625343194533944360  
96 - d6*sin(q1)*sin(q4)*sin(q5) + d6*cos(q1)*cos(q2)*cos(q4)*sin(q5) +  
(4967757600021511*d6*cos(q1)*cos(q2)*cos(q5)*sin(q4))/81129638414606681695789005144064 +  
(24678615572571482867467662723121*d6*cos(q1)*cos(q4)*cos(q5)*sin(q2))/658201822928482416861987673022940201993094346253431945  
3394436096 +  
(122597380068651197257713859414983140362437055831*d6*cos(q2)*cos(q4)*cos(q5)*sin(q1))/53399675898022752059875542654238802865  
0676130589163192486760401955554931445160137505740521734144 -  
(4967757600021511*d6*cos(q1)*sin(q2)*sin(q4)*sin(q5))/81129638414606681695789005144064 -  
(24678615572571482867467662723121*d6*cos(q2)*sin(q1)*sin(q4)*sin(q5))/6582018229284824168619876730229402019930943462534319453  
394436096 - (4967757600021511*d6*cos(q4)*sin(q1)*sin(q2)*sin(q5))/81129638414606681695789005144064 -  
(24678615572571482867467662723121*d6*cos(q5)*sin(q1)*sin(q2)*sin(q4))/6582018229284824168619876730229402019930943462534319453  
394436096]
```

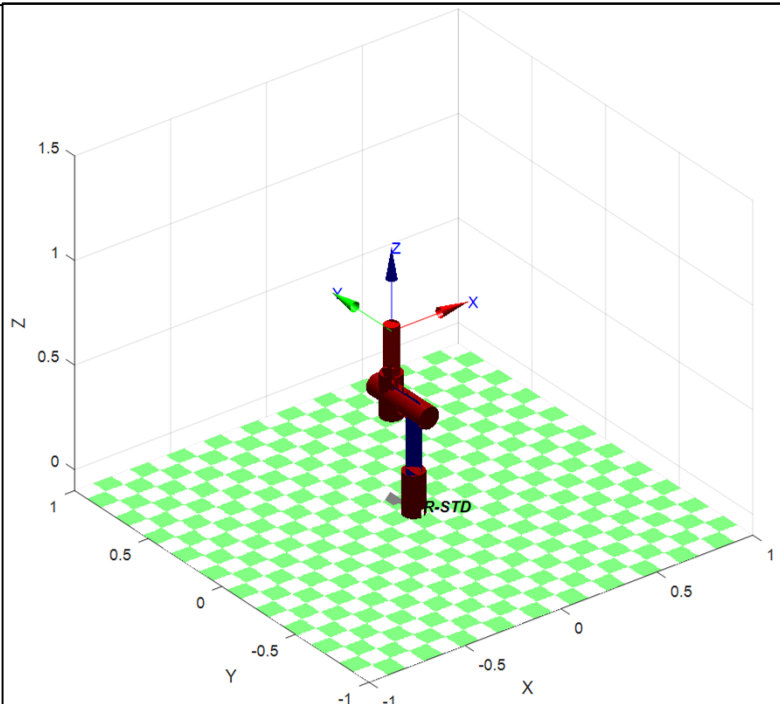
## Utilizando la Robotics System Toolbox

Se le darán valores a las dimensiones del robot de Stanford, esto es,  $d_1 = 0.4 \text{ m}$ ;  $d_2 = 0.15 \text{ m}$ ; y,  $d_6 = 0.3 \text{ m}$ .

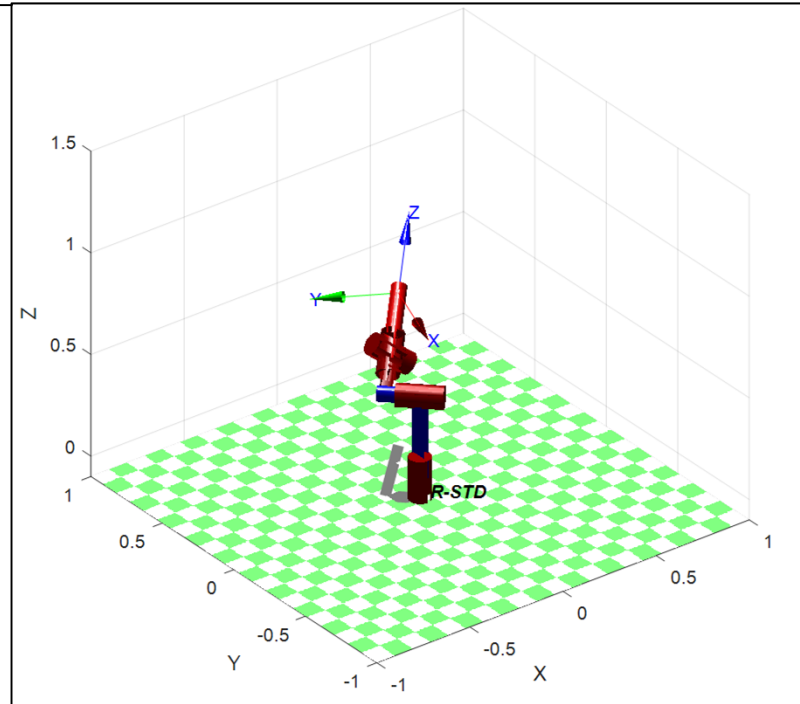
Se harán dos gráficas con las siguientes características:

Fig.	$q_1$	$q_2$	$q_3$	$q_4$	$q_5$	$q_6$
Fig. 1	0	0	0	0	0	0
Fig. 2	$45^\circ$	$60^\circ$	0.2	$45^\circ$	0	$-60^\circ$

```
R_Stanford.plot([0 0 0 0 0 0],  
'workspace', [-1 1 -1 1 -0.1  
1.5], 'reach', 1)
```



```
R_Stanford.plot([pi/4 pi/3 0.2 pi/4  
0 -pi/3], 'workspace', [-1 1 -1 1 -  
0.1 1.5], 'reach', 1)
```



```
R_Stanford.plot([0 0 0 0 0 0],  
'workspace', [-1 1 -1 1 -0.1  
1.5], 'reach', 1)
```

*Fig.*

*q1*

*q2*

*q3*

*q4*

*q5*

*q6*

Fig. 1

0

0

0

0

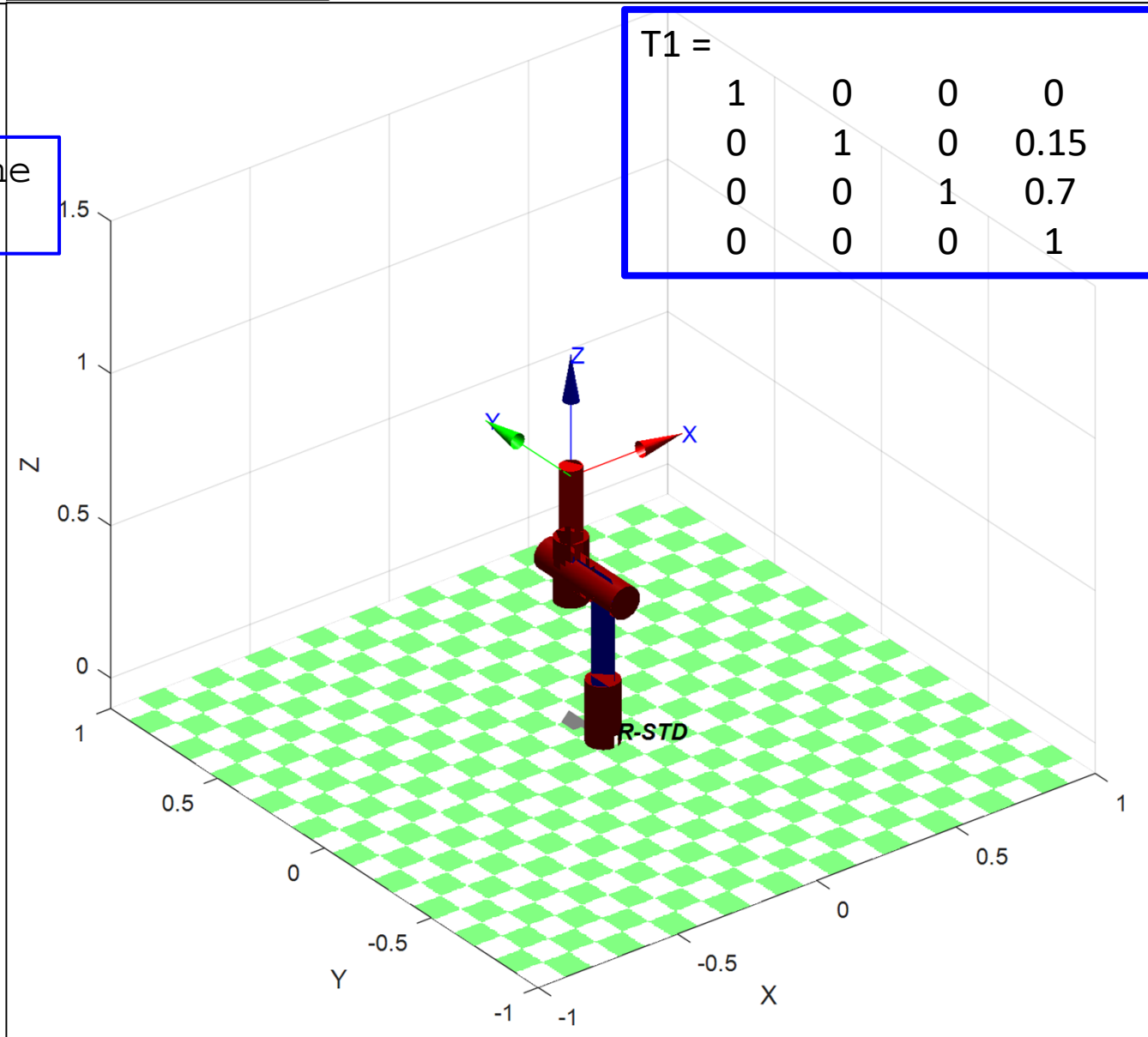
0

0

T1=R\_Stanford.fkine  
([0 0 0 0 0 0]);

T1 =

$$\begin{bmatrix} 1 & 0 & 0 & 0 \\ 0 & 1 & 0 & 0.15 \\ 0 & 0 & 1 & 0.7 \\ 0 & 0 & 0 & 1 \end{bmatrix}$$



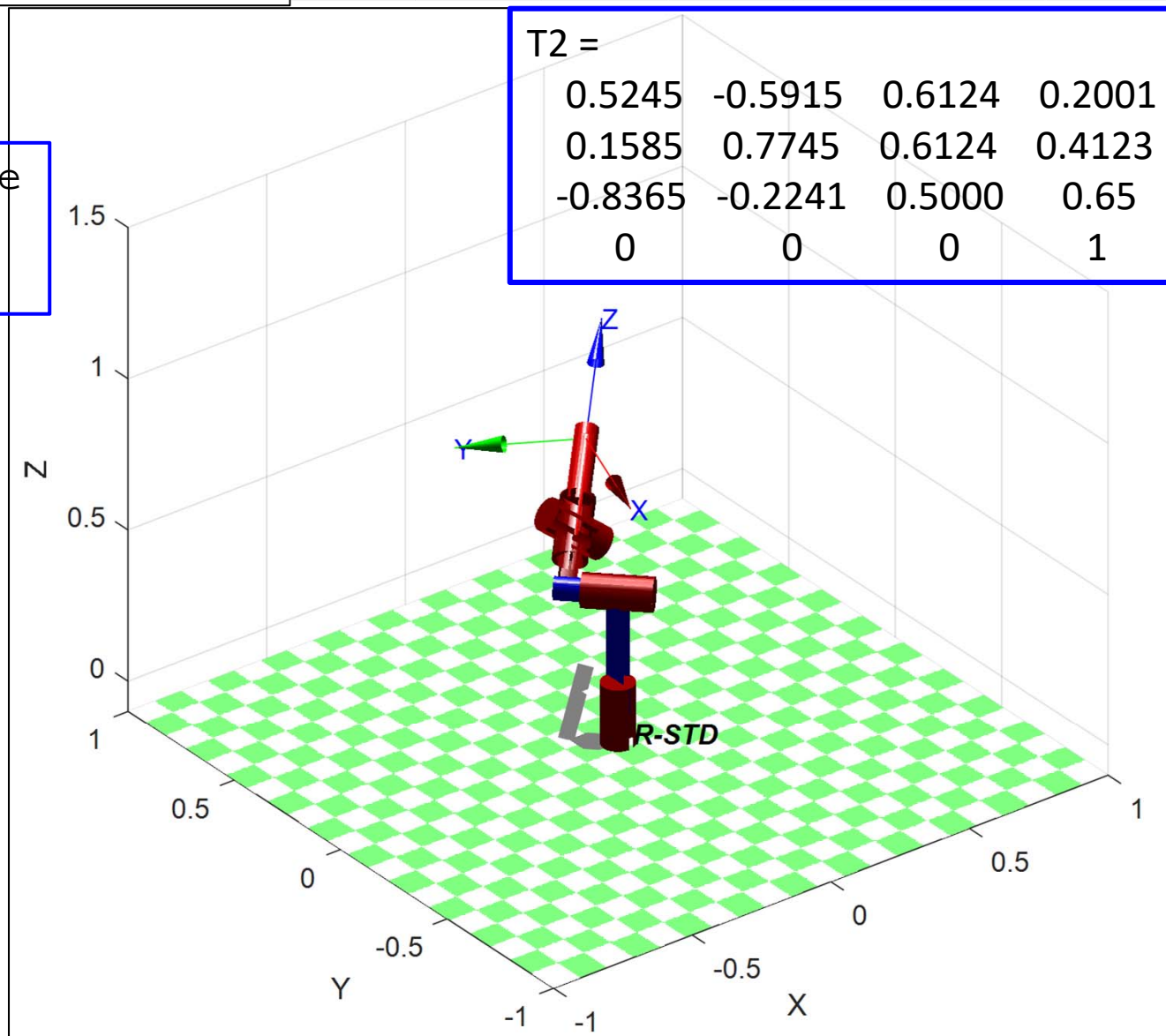
```
R_Stanford.plot([pi/4 pi/3 0.2
pi/4 0 -pi/3], 'workspace', [-1
1 -1 1 -0.1 1.5], 'reach', 1)
```

<i>Fig.</i>	<i>q1</i>	<i>q2</i>	<i>q3</i>	<i>q4</i>	<i>q5</i>	<i>q6</i>
Fig. 2	45°	60°	0.2	45°	0	-60°

```
T2=R_Stanford.fkine
([pi/4 pi/3 0.2
pi/4 0 -pi/3]);
```

T2 =

0.5245	-0.5915	0.6124	0.2001
0.1585	0.7745	0.6124	0.4123
-0.8365	-0.2241	0.5000	0.65
0	0	0	1



## Cinemática inversa

Se obtendrá la cinemática inversa con los tres primeros gdl, desacoplando cinemáticamente los otros tres gdl (muñeca).

En Matlab, la MTH es la siguiente:  $\left\{ \mathbf{T} = {}^0 \mathbf{A}_1^{-1} \mathbf{A}_2^{-2} \mathbf{A}_3 \right\}$

$$\begin{vmatrix} / C_1 C_2, & -S_1, & C_1 S_2, & C_1 S_2 d_3 - L_2 S_1 \\ | & | & | & | \\ | C_2 S_1, & C_1, & S_1 S_2, & C_1 L_2 + S_1 S_2 d_3 \\ | & | & | & | \\ | -S_2, & 0, & C_2, & L_1 + C_2 d_3 \\ | & | & | & | \\ \backslash 0, & 0, & 0, & 1 \end{vmatrix}$$

Donde la posición cartesiana del extremo del último eslabón es:

$$\begin{aligned} px &= C_1 S_2 d_3 - L_2 S_1 \\ py &= C_1 L_2 + S_1 S_2 d_3 \\ pz &= L_1 + C_2 d_3 \end{aligned}$$